

# AÑO MARCIANO 37

DICIEMBRE 2022 – NOVIEMBRE 2024



MARS  
ARCHIVE  
.ORG

# Marte fotografiado desde la superficie

La forma en la que los seres humanos medimos el paso del tiempo está estrechamente determinada por nuestra relación con los ciclos naturales observados en el planeta Tierra. El movimiento diurno y anual del Sol en el cielo así como los ciclos de la Luna han dictado la manera en que contamos los días, meses y años en nuestros calendarios.

¿Qué pasará cuando los humanos vivan en Marte, un planeta que tiene sus propios ciclos naturales, muy distintos a los de la Tierra? Marte tiene un día que dura 39.5 minutos mas que el nuestro, cuenta con dos lunas pequeñas, una de las cuales le da la vuelta en apenas 8 horas, y completa cada revolución alrededor del Sol en 687 días terrestres o casi dos años. ¿Cómo mediremos el paso del tiempo allá?

No existe (aún) un calendario oficial para Marte. Pero los científicos que estudian el planeta rojo se han visto en la necesidad de escoger una convención para hablar del paso del tiempo. En el 2000, investigadores estadounidenses definieron una cuenta de años marcianos que ha sido adoptada por la comunidad científica (Clancy et al. 2000). Según esta cuenta calendárica, cada año marciano empieza con la llegada de la primavera en el hemisferio norte, y el año marciano 1 dió inicio con la primavera marciana del 11 de abril de 1955. Esta elección obedece a la ocurrencia de la primera tormenta de polvo global estudiada ampliamente con observaciones telescopicas modernas.

El presente calendario, creado por Marsarchive.org, retrata el Año Marciano 37 de esta cuenta, el cual abarca del 26 de diciembre de 2022 al 12 de noviembre del 2024. En sus páginas se encuentran fotografías tomadas desde la superficie de Marte por las misiones científicas soviéticas, estadounidenses y china que lo han visitado desde la década de los setentas hasta la actualidad. Cada imagen incluye una breve cédula que le da contexto, así como fecha, lugar, nombre de la misión y crédito correspondiente. A lo largo del calendario se incluyen también anotaciones sobre eventos astronómicos y de relevancia para Marte, a cargo de Juan Claudio Toledo, astrónomo de la UNAM.

Este documento es un ejercicio de conceptualización que busca contraponer una posible forma de medir el tiempo en Marte con el calendario terrestre Gregoriano al cual estamos acostumbrados. Es aún muy pronto para saber si los primeros humanos que vivirán en Marte usarán un calendario dual como este, o si crearán uno enteramente nuevo de acuerdo a preceptos prácticos, políticos y filosóficos que se gestarán allá.

## Conceptualización

Juan Claudio Toledo y Marcela Chao

## Selección de fotografías

Marcela Chao, Ethan Galicia, Raúl Santos,  
Juan Claudio Toledo

## Anotaciones y cálculos

Juan Claudio Toledo

## Diseño y producción

Juan Claudio Toledo, Víctor Mendoza,  
Marcela Chao, Ethan Galicia y Raúl Santos

Impreso en Ciudad de México por <IMPRESOR>,  
diciembre de 2022



## © 2022 Marsarchive.org

Marsarchive.org es una plataforma curatorial expandida que reflexiona la forma en la que se genera la historia de Marte a través de un archivo colaborativo, actividades de divulgación del conocimiento, cursos, talleres, encuentros y celebraciones marcianas. El proyecto comenzó un martes de marzo del 2016 y terminará en el momento en el que un ser humano ponga un pie en el planeta Marte.

<https://marsarchive.org>



Esta obra está licenciada bajo la  
Licencia Creative Commons  
Atribución-CompartirlGual 4.0  
Internacional.  
Para ver una copia de esta licencia,  
visite <http://creativecommons.org/licenses/by-sa/4.0/> o envíe una carta  
a Creative Commons, PO Box 1866,  
Mountain View, CA 94042, USA.



# Información sobre Marte y el calendario

## ► Duración del año marciano

La duración del año marciano –el tiempo que le toma a Marte completar una vuelta alrededor del Sol– es de 687 días terrestres, unos 1.88 años terrestres o 22 meses y medio, o lo que equivale a 668.6 soles (días marcianos).

## ► El día marciano o "sol"

Los días en Marte duran 24 horas, 39 minutos y 35 segundos, un poco más que los de la Tierra. Para distinguirlos de los terrestres, los días marcianos se denominan soles. Así, el año marciano dura alrededor de 669 soles.

## ► Órbita de Marte

La órbita de Marte (en rojo) es más grande y más ovalada que la de la Tierra (en azul tenue).

Ls Longitud solar

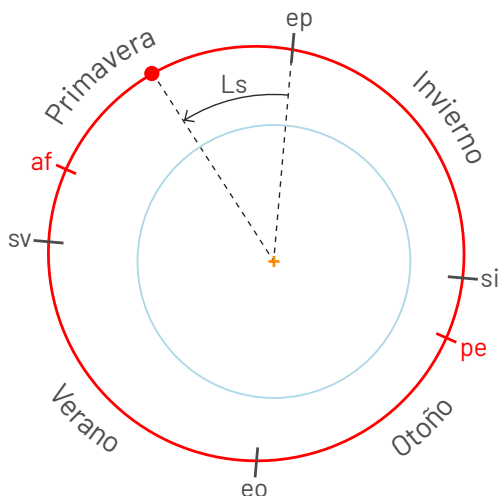
ep Equinoccio de primavera

sv Solsticio de verano

eo Equinoccio de otoño

si Solsticio de invierno

af Afelio (dist. máx. al Sol)



## ► Estaciones del año

En Marte también hay estaciones del año pues su eje de rotación está inclinado  $25.2^\circ$  con respecto a su órbita, lo cual es (coincidentalmente) muy parecido a la Tierra ( $23.4^\circ$ ).

Pero debido a que la órbita de Marte es elíptica sus estaciones no tienen la misma duración: la primavera (en el hemisferio norte) dura 35% más que el otoño (ver la tabla siguiente).

Ls	Estación*	Inicio	Duración
0°	Primavera	26 de diciembre de 2022	193.2 soles
90°	Verano	12 de julio de 2023	178.6 soles
180°	Otoño	12 de enero de 2024	142.8 soles
270°	Invierno	7 de junio de 2024	154.0 soles

\* Las estaciones están referidas al hemisferio norte

## ► Anotaciones en los días del calendario

### Banda de estaciones del año

Esta banda de colores indica las estaciones del año marciano: primavera, verano, otoño e invierno (esto para el hemisferio norte; al igual que en la Tierra, en el hemisferio sur las estaciones están invertidas). En la banda también se indica el inicio de cada sol.



### Constelación

En la que se encuentra Marte visto desde la Tierra.

### Distancia entre Marte y la Tierra

Este número indica la distancia entre Marte y la Tierra en unidades astronómicas (ua), la unidad que utilizan los científicos para medir distancias entre planetas:

1ua = distancia promedio entre la Tierra y el Sol  
= 150 millones de kilómetros.

Marte y la Tierra se mueven alrededor del Sol así que la distancia entre ellos cambia continuamente. El acercamiento máximo entre Marte y la Tierra durante el Año Marciano 37 ocurrió el 26 de diciembre de 2022.

### Longitud solar, Ls

Indica la posición de Marte en su órbita alrededor del Sol según el ángulo desde el equinoccio de primavera; ver el diagrama de la órbita de Marte en el lado izquierdo. Es una forma de medir el progreso del año marciano y de las estaciones.

### Conteo de soles desde el inicio del año

No hay una convención para definir los meses marcianos, así que este número es simplemente una cuenta del número de soles que han transcurrido desde el inicio del año marciano, desde el sol 1 hasta el sol 669.

Puesto que los soles son un poco más largos que los días terrestres, la cuenta de soles se desfasa poco a poco con los días terrestres.

### Sucesos importantes para Marte

Se indican sucesos astronómicos y naturales de importancia para Marte: los equinoccios y solsticios (inicios de estaciones), el perihelio y el afelio (mínima y máxima separación entre Marte y el Sol), inicio y fin de la temporada anual de tormentas de polvo, la ventana de lanzamiento de 2024 (periodo en que es factible lanzar naves a Marte desde la Tierra) y conjunciones con algunos planetas.

### Magnitud aparente (brillo) de Marte

Indica qué tan brillante se ve el Planeta Rojo desde la Tierra. Por razones históricas, entre más pequeña es la magnitud más brillante es el cuerpo celeste, y magnitudes negativas indican objetos muy brillantes (entre más negativa, más brillante).

En diciembre de 2022 Marte estará lo más cercano a la Tierra y se verá como un punto rojo muy brillante en el cielo ( $m = -2$ ). Estará de nuevo muy brillante al final del Año Marciano 37, en noviembre y diciembre de 2024.

Portada: las marcas de las ruedas de Opportunity en las dunas de Rub al Khali. NASA/JPL-Caltech/Cornell/USGS

Contraportada: foto del cielo nocturno marciano tomada por Opportunity en 2013. El punto brillante es la Tierra. NASA/JPL-Caltech/Malin Space Systems/Texas A&M



# DICIEMBRE 2022

Esta es la primera "imagen" transmitida desde la superficie de Marte. La misión soviética Mars 3 fue la primera en aterrizar en Marte el 2 de diciembre de 1971, pero falló 110 segundos después. Sólo logró transmitir este cuadro incompleto de la cámara de video. El análisis concluyó que no contiene más que estática.

2 de diciembre de 1972 • Phaethontis • Mars 3 • Academia de Ciencias de la Unión Soviética

Lunes	Martes	Miércoles	Jueves	Viernes	Sábado	Domingo
28	29	30	1 Ls 347.0° 645 Máximo acercamiento entre Marte y la Tierra	2 Ls 347.5° 646	3 Ls 348.1° 647	4 Ls 348.6° 648
5 Ls 349.1° 649	6 Ls 349.6° 650	7 Ls 350.1° 651	8 Ls 350.6° 652	9 Ls 351.2° 653	10 Ls 351.7° 654	11 Ls 352.2° 655
const Tau 0.55 -1.96	const Tau 0.55 -1.98	const Tau 0.55 -1.99	const Tau 0.55 -1.99	const Tau 0.55 -1.99	const Tau 0.55 -1.97	const Tau 0.55 -1.94
12 Ls 352.7° 656	13 Ls 353.2° 657	14 Ls 353.7° 658	15 Ls 354.2° 659	16 Ls 354.7° 660	17 Ls 355.2° 661	18 Ls 355.8° 662
const Tau 0.56 -1.93	const Tau 0.56 -1.90	const Tau 0.56 -1.88	const Tau 0.56 -1.83	const Tau 0.57 -1.80	const Tau 0.57 -1.75	const Tau 0.57 -1.71
19 Ls 356.3° 663	20 Ls 356.8° 664	21 Ls 357.3° 665	22 Ls 357.8° 666	23 Ls 358.3° 667	24 Ls 358.8° 668	25 Ls 359.3° 669
const Tau 0.58 -1.67	const Tau 0.58 -1.63	const Tau 0.58 -1.59	const Tau 0.59 -1.56	const Tau 0.59 -1.52	const Tau 0.60 -1.47	const Tau 0.60 -1.43
26 Ls 359.8° 1	27 Ls 0.3° 2	28 Ls 0.8° 3	29 Ls 1.3° 4	30 Ls 1.8° 5	31 Ls 2.3° 6	1
Inicia Año Marciano 37 Equinoccio de Primavera						
const Tau 0.61 -1.41	const Tau 0.61 -1.38	const Tau 0.62 -1.35	const Tau 0.62 -1.32	const Tau 0.63 -1.29	const Tau 0.63 -1.24	

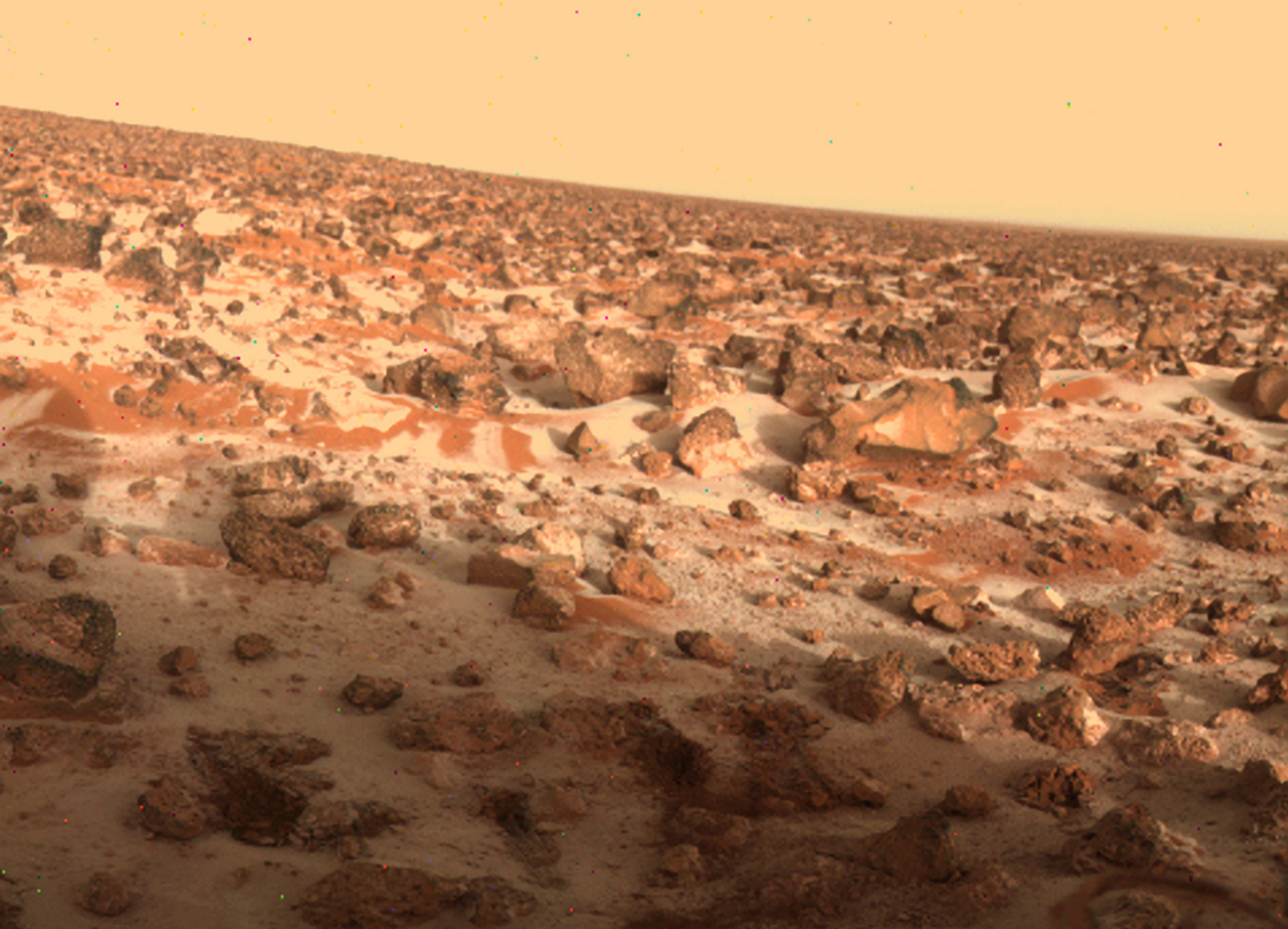


# ENERO 2023

Esta fotografía de la superficie de Marte fue tomada en 1976 por la misión estadounidense Viking 1, que fue la primera que logró operar con éxito en la superficie. Compuesta por un orbitador y un aterrizador, llevó un experimento para buscar indicios de vida. Operó en la región de Chryse Planitia por más de 6 años.

20 de julio de 1976 • Chryse Planitia • Viking 1 • NASA/JPL

Lunes	Martes	Miércoles	Jueves	Viernes	Sábado	Domingo
26	27	28	29	30	31	1 Ls 2.8°
						7
						const dist magn Tau 0.64 0.64 -1.20
2 Ls 3.3°	3 Ls 3.7°	4 Ls 4.2°	5 Ls 4.7°	6 Ls 5.2°	7 Ls 5.7°	8 Ls 6.2°
8	9	10	11	12	13	14
const dist magn Tau 0.64 0.64 -1.18	const dist magn Tau 0.65 0.65 -1.15	const dist magn Tau 0.66 0.66 -1.11	const dist magn Tau 0.66 0.66 -1.06	const dist magn Tau 0.67 0.67 -1.04	const dist magn Tau 0.68 0.68 -1.03	const dist magn Tau 0.68 0.68 -0.99
9 Ls 6.7°	10 Ls 7.2°	11 Ls 7.7°	12 Ls 8.2°	13 Ls 8.6°	14 Ls 9.1°	15 Ls 9.6°
15	16	17	18	19	20	
const dist magn Tau 0.69 0.70 -0.97	const dist magn Tau 0.70 0.70 -0.94	const dist magn Tau 0.70 0.70 -0.92	const dist magn Tau 0.71 0.71 -0.91	const dist magn Tau 0.72 0.72 -0.87	const dist magn Tau 0.73 0.73 -0.84	const dist magn Tau 0.73 0.73 -0.82
16 Ls 10.1°	17 Ls 10.6°	18 Ls 11.1°	19 Ls 11.6°	20 Ls 12.0°	21 Ls 12.5°	22 Ls 13.0°
21	22	23	24	25	26	27
const dist magn Tau 0.74 0.75 -0.79	const dist magn Tau 0.75 0.75 -0.76	const dist magn Tau 0.76 0.76 -0.73	const dist magn Tau 0.76 0.76 -0.70	const dist magn Tau 0.77 0.77 -0.68	const dist magn Tau 0.78 0.78 -0.66	const dist magn Tau 0.79 0.79 -0.63
23 Ls 13.5°	24 Ls 14.0°	25 Ls 14.4°	26 Ls 14.9°	27 Ls 15.4°	28 Ls 15.9°	29 Ls 16.3°
28	29	30	31	32	33	34
const dist magn Tau 0.80 0.81 -0.58	const dist magn Tau 0.81 0.81 -0.55	const dist magn Tau 0.81 0.81 -0.50	const dist magn Tau 0.82 0.82 -0.46	const dist magn Tau 0.83 0.83 -0.42	const dist magn Tau 0.84 0.84 -0.38	const dist magn Tau 0.85 0.85 -0.35
30 Ls 16.8°	31 Ls 17.3°	1	2	3	4	5
35	36					
const dist magn Tau 0.86 0.87 -0.32	const dist magn Tau 0.87 0.87 -0.28					

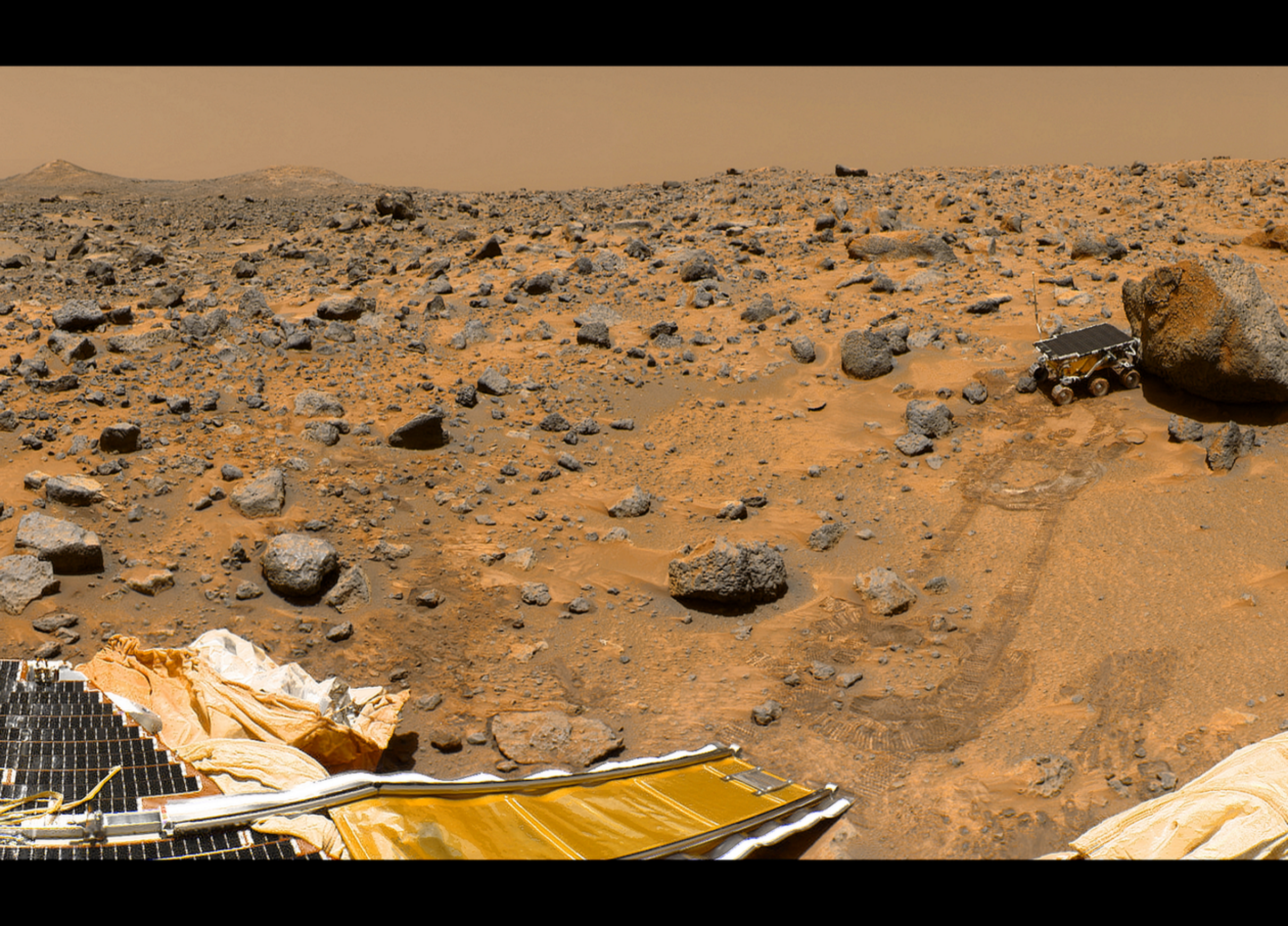


# FEBRERO 2023

Esta fotografía a color de la superficie de Marte fue tomada por el aterrizador de la misión Viking 2 en 1979. Vemos un paisaje rocoso parcialmente cubierto de una muy fina capa blanca de escarcha de hielo de agua. Los puntos rojos y verdes son artefactos del sensor, posiblemente causados por rayos cósmicos.

5 de septiembre de 1976 • Utopia Planitia • Viking 2 • NASA/JPL

Lunes	Martes	Miércoles	Jueves	Viernes	Sábado	Domingo
30	31	1 Ls 17.8°	2 Ls 18.2°	3 Ls 18.7°	4 Ls 19.2°	5 Ls 19.7°
		37	38	39	40	41
		const Tau 0.88 magn -0.24	const Tau 0.88 magn -0.21	const Tau 0.89 magn -0.19	const Tau 0.90 magn -0.17	const Tau 0.91 magn -0.15
6 Ls 20.1°	7 Ls 20.6°	8 Ls 21.1°	9 Ls 21.5°	10 Ls 22.0°	11 Ls 22.5°	12 Ls 22.9°
	42	43	44	45	46	47
const Tau 0.92 magn -0.12	const Tau 0.93 magn -0.09	const Tau 0.94 magn -0.04	const Tau 0.95 magn -0.03	const Tau 0.96 magn -0.01	const Tau 0.97 magn 0.02	const Tau 0.98 magn 0.06
13 Ls 23.4°	14 Ls 23.9°	15 Ls 24.3°	16 Ls 24.8°	17 Ls 25.3°	18 Ls 25.7°	19 Ls 26.2°
	49	50	51	52	53	54
const Tau 0.99 magn 0.07	const Tau 1.00 magn 0.08	const Tau 1.01 magn 0.10	const Tau 1.02 magn 0.12	const Tau 1.03 magn 0.14	const Tau 1.04 magn 0.15	const Tau 1.05 magn 0.15
20 Ls 26.7°	21 Ls 27.1°	22 Ls 27.6°	23 Ls 28.0°	24 Ls 28.5°	25 Ls 29.0°	26 Ls 29.4°
	56	57	58	59	60	61
const Tau 1.06 magn 0.18	const Tau 1.07 magn 0.20	const Tau 1.08 magn 0.21	const Tau 1.08 magn 0.23	const Tau 1.09 magn 0.25	const Tau 1.10 magn 0.28	const Tau 1.11 magn 0.29
27 Ls 29.9°	28 Ls 30.3°	1	2	3	4	5
	62	63				
const Tau 1.12 magn 0.30	const Tau 1.13 magn 0.32					

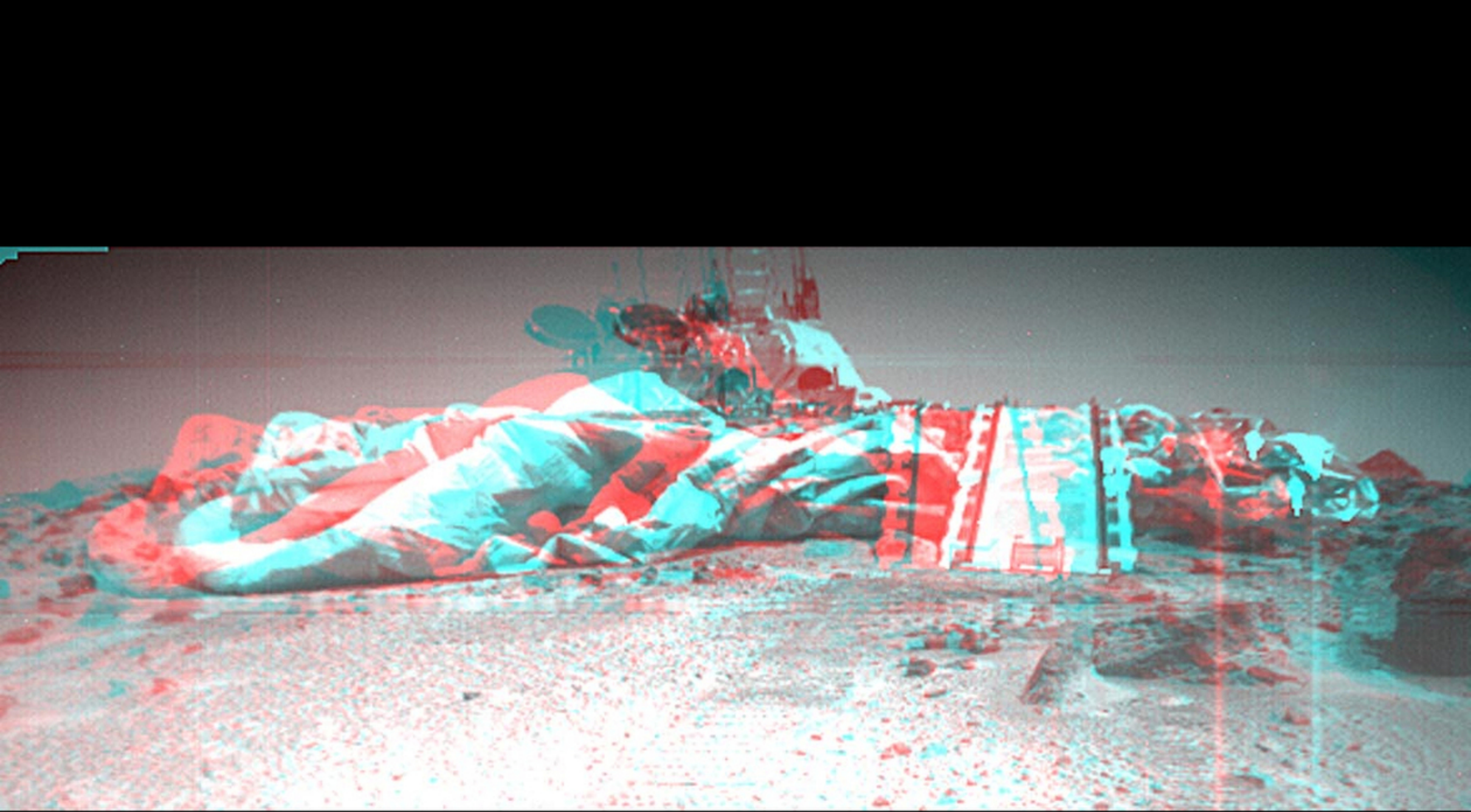


# MARZO 2023

Lanzada en diciembre de 1996, la misión Pathfinder amartizó en Ares Vallis el 4 de Julio de 1997. El aterrizador desplegó el pequeño rover robótico Sojourner, nombrado en honor de la activista por los derechos civiles Sojourner Truth, y el cual fue el primer vehículo en desplazarse por la superficie de Marte. Los Twin Peaks sobresalen al fondo.

12-15 de julio de 1997 • Ares Vallis • Pathfinder • NASA/JPL

Lunes	Martes	Miércoles	Jueves	Viernes	Sábado	Domingo
27	28	1 Ls 30.8° 64 const Tau 1.14 dist 0.34	2 Ls 31.3° 65 const Tau 1.15 dist 0.38	3 Ls 31.7° 66 const Tau 1.16 dist 0.41	4 Ls 32.2° 67 const Tau 1.17 dist 0.44	5 Ls 32.6° 68 const Tau 1.18 dist 0.47
6 Ls 33.1° 69 const Tau 1.19 dist 0.50	7 Ls 33.5° 70 const Tau 1.20 dist 0.53	8 Ls 34.0° 71 const Tau 1.21 dist 0.55	9 Ls 34.5° 72 const Tau 1.22 dist 0.58	10 Ls 34.9° 73 const Tau 1.23 dist 0.61	11 Ls 35.4° 74 const Tau 1.24 dist 0.64	12 Ls 35.8° 75 const Tau 1.25 dist 0.65
13 Ls 36.3° 76 const Tau 1.26 dist 0.67	14 Ls 36.7° 77 const Tau 1.27 dist 0.68	15 Ls 37.2° 78 const Tau 1.28 dist 0.69	16 Ls 37.6° 79 const Tau 1.29 dist 0.70	17 Ls 38.1° 80 const Tau 1.30 dist 0.73	18 Ls 38.5° 81 const Tau 1.31 dist 0.76	19 Ls 39.0° 82 const Tau 1.32 dist 0.77
Marte en cuadratura						
20 Ls 39.4° 83 const Tau 1.33 dist 0.78	21 Ls 39.9° 84 const Tau 1.34 dist 0.80	22 Ls 40.3° 85 const Tau 1.35 dist 0.83	23 Ls 40.8° 86 const Tau 1.36 dist 0.83	24 Ls 41.2° 87 const Tau 1.37 dist 0.83	25 Ls 41.7° 88 const Tau 1.38 dist 0.85	26 Ls 42.1° 89 const Tau 1.39 dist 0.85
27 Ls 42.6° 90 const Gem 1.40 dist 0.86	28 Ls 43.0° 91 const Gem 1.41 dist 0.87	29 Ls 43.5° 92 const Gem 1.42 dist 0.86	30 Ls 43.9° 93 const Gem 1.43 dist 0.88	31 Ls 44.4° 94 const Gem 1.44 dist 0.89	1	2



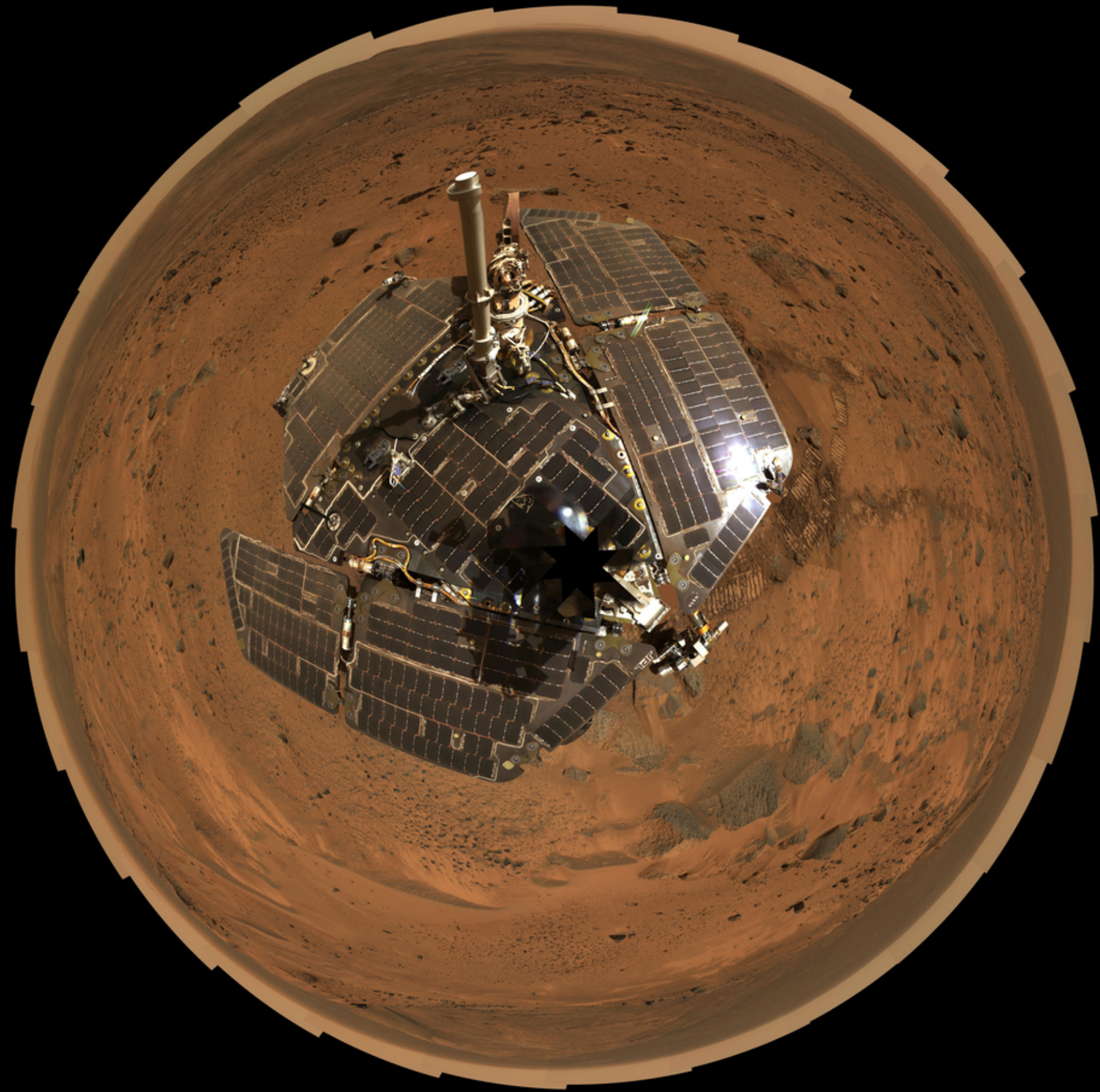
# ABRIL 2023



El módulo de amartizaje de la Pathfinder, visto aquí en una imagen en anaglifo 3D tomada por el rover Sojourner, fue formalmente designado Carl Sagan Memorial Station para honrar el legado del famoso astrónomo, astrobiólogo y divulgador de la ciencia. Sagan fue un impulsor de la exploración de Marte y de la búsqueda de inteligencia extraterrestre en el cosmos.

23 de julio de 1997 • Ares Vallis • Pathfinder • NASA/JPL

Lunes	Martes	Miércoles	Jueves	Viernes	Sábado	Domingo
27	28	29	30	31	1	2
					Ls 44.8° 94 const Gem dist 1.45 magn 0.90	Ls 45.2° 95 const Gem dist 1.46 magn 0.91
3 96 const Gem dist 1.47 magn 0.92	4 Ls 45.7° 97 const Gem dist 1.48 magn 0.94	5 Ls 46.1° 98 const Gem dist 1.49 magn 0.94	6 Ls 46.6° 99 const Gem dist 1.50 magn 0.95	7 Ls 47.0° 100 const Gem dist 1.51 magn 0.96	8 Ls 47.5° 101 const Gem dist 1.52 magn 0.98	9 Ls 48.4° 102 const Gem dist 1.53 magn 1.00
10 103 const Gem dist 1.54 magn 1.03	11 Ls 48.8° 104 const Gem dist 1.55 magn 1.06	12 Ls 49.2° 105 const Gem dist 1.56 magn 1.08	13 Ls 49.7° 106 const Gem dist 1.57 magn 1.10	14 Ls 50.1° 107 const Gem dist 1.58 magn 1.12	15 Ls 50.6° 108 const Gem dist 1.59 magn 1.14	16 Ls 51.0° 109 const Gem dist 1.60 magn 1.16
17 110 const Gem dist 1.61 magn 1.19	18 Ls 51.9° 111 const Gem dist 1.62 magn 1.21	19 Ls 52.3° 112 const Gem dist 1.63 magn 1.21	20 Ls 52.8° 113 const Gem dist 1.64 magn 1.22	21 Ls 53.2° 114 const Gem dist 1.65 magn 1.23	22 Ls 53.7° 115 const Gem dist 1.66 magn 1.24	23 Ls 54.1° 116 const Gem dist 1.67 magn 1.25
24 117 const Gem dist 1.67 magn 1.28	25 Ls 55.0° 118 const Gem dist 1.68 magn 1.29	26 Ls 55.4° 119 const Gem dist 1.69 magn 1.29	27 Ls 55.9° 120 const Gem dist 1.70 magn 1.30	28 Ls 56.3° 121 const Gem dist 1.71 magn 1.32	29 Ls 56.7° 121 const Gem dist 1.72 magn 1.34	30 Ls 57.6° 122 const Gem dist 1.73 magn 1.33



# MAYO 2023

Este autorretrato de 360° fue tomada por el rover Spirit, lanzado en 2003 como parte del programa Mars Exploration Rovers (MER) para indagar sobre la historia del clima marciano y buscar indicios de condiciones que pudieron haber sido favorables a la vida. Superó con creces su expectativa de vida útil de 90 días, al permanecer activo por 6 años.

24-27 de agosto de 2005 • Cráter Gusev • MER-A (Spirit) • NASA/JPL-Caltech/Cornell/USGS

Lunes	Martes	Miércoles	Jueves	Viernes	Sábado	Domingo
<b>1</b> Ls 58.1° const Gem 1.74 dist 1.74 magn 1.33	<b>2</b> Ls 58.5° const Gem 1.75 dist 1.75 magn 1.34	<b>3</b> Ls 58.9° const Gem 1.76 dist 1.76 magn 1.34	<b>4</b> Ls 59.4° const Gem 1.77 dist 1.77 magn 1.34	<b>5</b> Ls 59.8° const Gem 1.77 dist 1.77 magn 1.34	<b>6</b> Ls 60.3° const Gem 1.78 dist 1.78 magn 1.33	<b>7</b> Ls 60.7° const Gem 1.79 dist 1.79 magn 1.35
124	125	126	127	128	129	
130	131	132	133	134	135	136
137	138	139	140	141	142	143
144	145	146	147	148	149	150
151	152	153	1	2	3	4
const Cnc 1.92 dist 1.92 magn 1.50	const Cnc 1.93 dist 1.93 magn 1.51	const Cnc 1.94 dist 1.94 magn 1.53	const Cnc 1.94 dist 1.94 magn 1.55	const Cnc 1.95 dist 1.95 magn 1.55	const Cnc 1.96 dist 1.96 magn 1.56	const Cnc 1.97 dist 1.97 magn 1.56

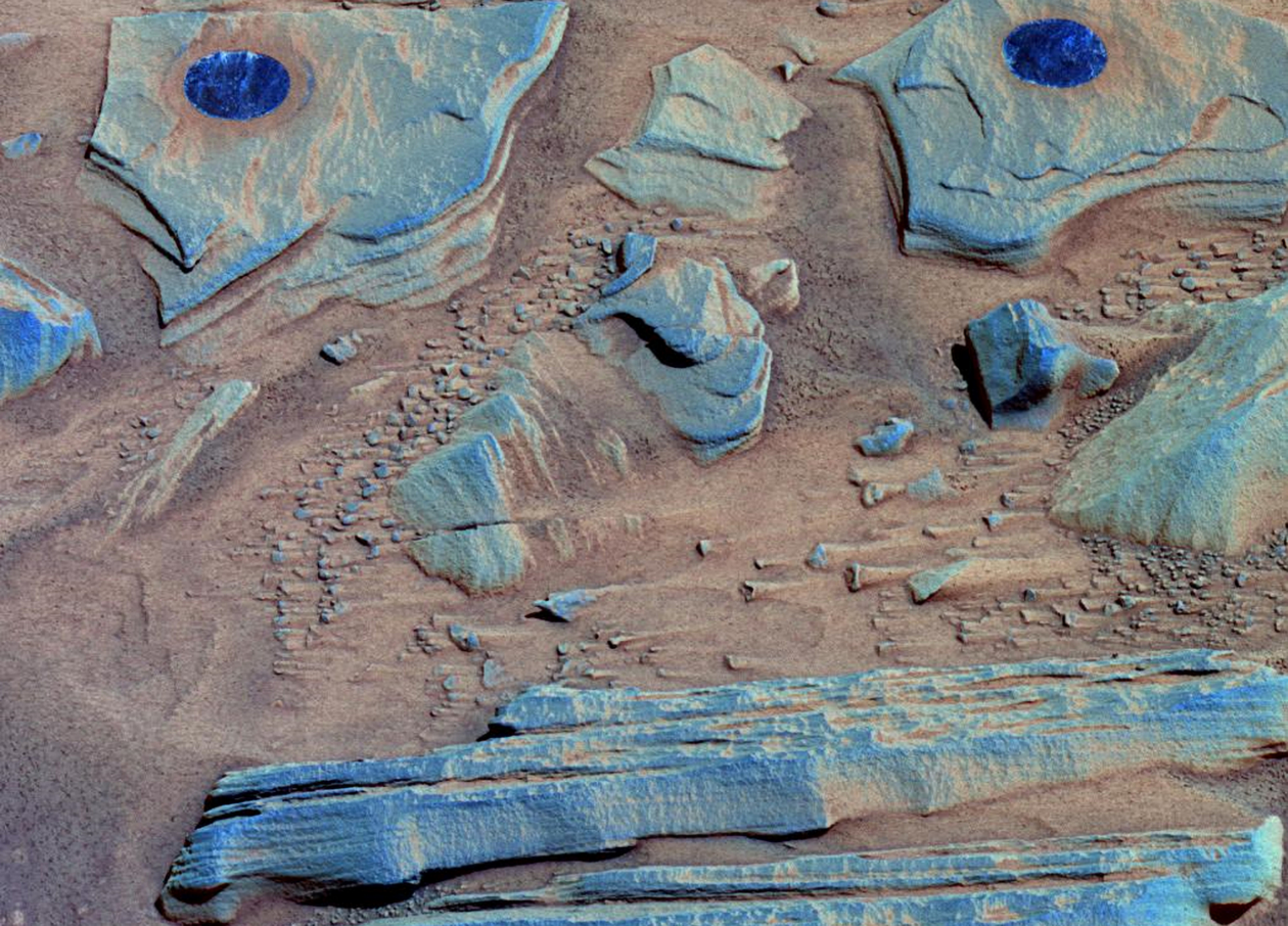


# JUNIO 2023

Debido a las peculiares características del cielo marciano las puestas de sol adquieren un tono azuloso, como lo muestra este mosaico fotográfico ajustado para aproximar la percepción de colores del ojo humano. Ya que Marte está a mayor distancia del Sol, éste aparece con sólo dos terceras partes de su tamaño aparente desde la Tierra.

19 de mayo de 2005 • Cráter Gusev • MER-A (Spirit) • NASA/JPL-Caltech/Texas A&M/Cornell

Lunes	Martes	Miércoles	Jueves	Viernes	Sábado	Domingo
<b>29</b>	<b>30</b>	<b>31</b>	<b>1</b> Ls 71.6° const Cnc 2.00 dist 1.60	<b>2</b> Ls 72.0° const Cnc 2.01 dist 1.59	<b>3</b> Ls 72.5° const Cnc 2.02 dist 1.59	<b>4</b> Ls 72.9° const Cnc 2.02 dist 1.61
5 Ls 73.4° 158	6 Ls 73.8° 159	7 Ls 74.2° 160	8 Ls 74.7° 161	9 Ls 75.1° 162	10 Ls 75.5° 163	11 Ls 76.0°
const Cnc 2.03 dist 1.63	const Cnc 2.04 dist 1.62	const Cnc 2.05 dist 1.61	const Cnc 2.05 dist 1.62	const Cnc 2.06 dist 1.61	const Cnc 2.07 dist 1.61	const Cnc 2.08 dist 1.61
12 Ls 76.4° 165	13 Ls 76.9° 166	14 Ls 77.3° 167	15 Ls 77.7° 168	16 Ls 78.2° 169	17 Ls 78.6° 170	18 Ls 79.0°
const Cnc 2.08 dist 1.59	const Cnc 2.09 dist 1.61	const Cnc 2.10 dist 1.60	const Cnc 2.10 dist 1.61	const Cnc 2.11 dist 1.61	const Cnc 2.12 dist 1.61	const Cnc 2.12 dist 1.62
19 Ls 79.5° 171	20 Ls 79.9° 172	21 Ls 80.3° 173	22 Ls 80.8° 174	23 Ls 81.2° 175	24 Ls 81.7° 176	25 Ls 82.1° 177
const Cnc 2.13 dist 1.62	const Cnc 2.14 dist 1.61	const Leo 2.15 dist 1.62	const Leo 2.15 dist 1.63	const Leo 2.16 dist 1.64	const Leo 2.17 dist 1.66	const Leo 2.17 dist 1.67
26 Ls 82.5° 178	27 Ls 83.0° 179	28 Ls 83.4° 180	29 Ls 83.9° 181	30 Ls 84.3° 182	1	2
const Leo 2.18 dist 1.68	const Leo 2.18 dist 1.70	const Leo 2.19 dist 1.71	const Leo 2.20 dist 1.72	const Leo 2.20 dist 1.73		

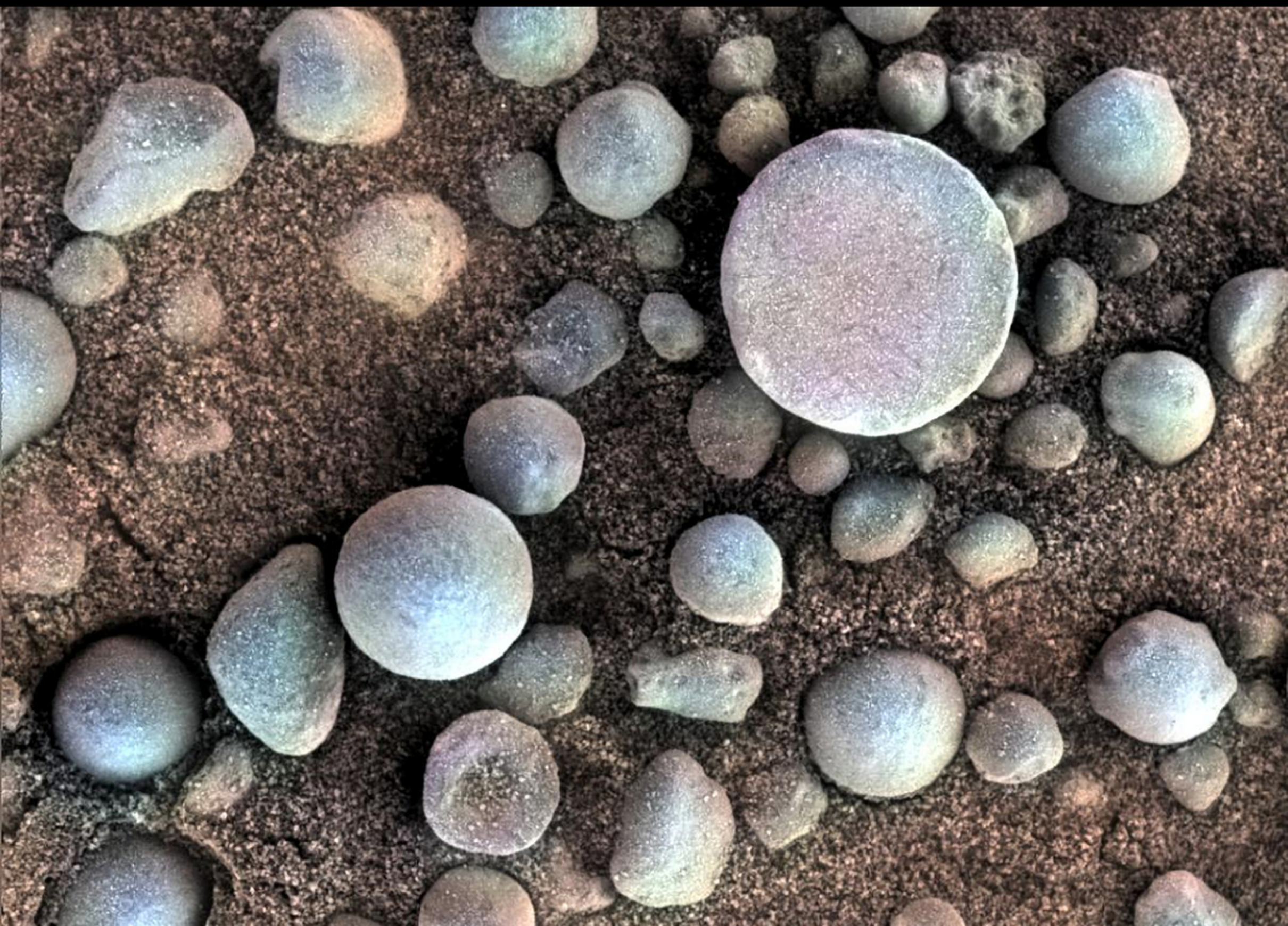


# JULIO 2023

Imagen en colores falsos tomada por el rover Spirit después de usar su herramienta abrasiva para limar dos áreas de la superficie de rocas cercanas (círculos azules) como parte del análisis mineralógico. Debido a los dos círculos que asemejan ojos y las líneas que parecen una boca, hay quienes identifican una cara en la imagen.

22-25 de febrero de 2006 • Cráter Gusev • MER-A (Spirit) • NASA/JPL-Caltech/Cornell/USGS

Lunes	Martes	Miércoles	Jueves	Viernes	Sábado	Domingo
26	27	28	29	30	1	2
					Ls 84.7° const Leo dist 2.21 magn 1.74	Ls 85.2° const Leo dist 2.22 magn 1.75
3 Ls 85.6° 185	4 Ls 86.0° 186	5 Ls 86.5° 187	6 Ls 86.9° 188	7 Ls 87.4° 189	8 Ls 87.8° 190	9 Ls 88.2° 191
const Leo dist 2.22 magn 1.74	const Leo dist 2.23 magn 1.74	const Leo dist 2.23 magn 1.73	const Leo dist 2.24 magn 1.73	const Leo dist 2.25 magn 1.74	const Leo dist 2.25 magn 1.76	const Leo dist 2.26 magn 1.75
10 Ls 88.7° 192	11 Ls 89.1° 193	12 Ls 89.6° 194 Solsticio de Verano	13 Ls 90.0° 195	14 Ls 90.5° 196	15 Ls 90.9° 197	16 Ls 91.3° 198
const Leo dist 2.26 magn 1.74	const Leo dist 2.27 magn 1.74	const Leo dist 2.28 magn 1.76	const Leo dist 2.28 magn 1.75	const Leo dist 2.29 magn 1.74	const Leo dist 2.29 magn 1.74	const Leo dist 2.30 magn 1.72
17 Ls 91.8° 199	18 Ls 92.2° 200	19 Ls 92.7° 201	20 Ls 93.1° 202	21 Ls 93.6° 202	22 Ls 94.0° 203	23 Ls 94.4° 204
const Leo dist 2.30 magn 1.72	const Leo dist 2.31 magn 1.72	const Leo dist 2.31 magn 1.69	const Leo dist 2.32 magn 1.70	const Leo dist 2.32 magn 1.70	const Leo dist 2.33 magn 1.69	const Leo dist 2.33 magn 1.69
24 Ls 94.9° 205	25 Ls 95.3° 206	26 Ls 95.8° 207	27 Ls 96.2° 208	28 Ls 96.7° 209	29 Ls 97.1° 210	30 Ls 97.6° 211
const Leo dist 2.34 magn 1.69	const Leo dist 2.34 magn 1.69	const Leo dist 2.35 magn 1.69	const Leo dist 2.35 magn 1.68	const Leo dist 2.36 magn 1.68	const Leo dist 2.36 magn 1.68	const Leo dist 2.37 magn 1.70
31 Ls 98.0° 212	1	2	3	4	5	6
const Leo dist 2.37 magn 1.71						

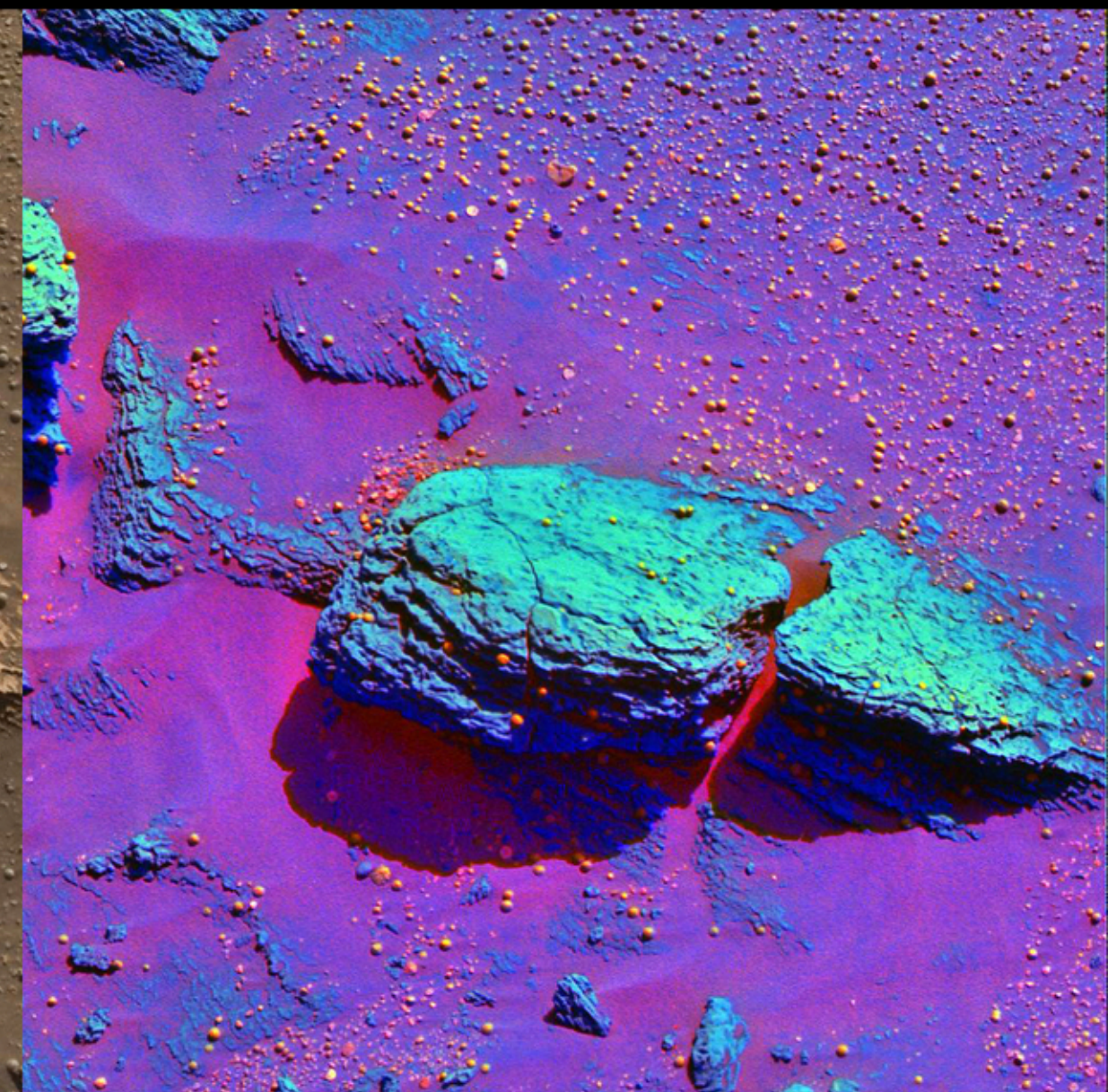


# AGOSTO 2023

Estas esférulas marcianas, probablemente hechas de hematita y apodadas "blueberries" (moras azules), son formaciones encontradas por el rover Opportunity. Son indicios del pasado acuoso de la región. La imagen mide unos 3 cm de lado y fue tomada con la lente microscópica del rover; se agregaron colores tomados por la cámara panorámica.

19 de abril de 2004 • Meridiani Planum • MER-B (Opportunity) • NASA/JPL-Caltech/Cornell/USGS

Lunes	Martes	Miércoles	Jueves	Viernes	Sábado	Domingo
<b>31</b>	<b>1</b> Ls 98.4° 213	<b>2</b> Ls 98.9° 214	<b>3</b> Ls 99.3° 215	<b>4</b> Ls 99.8° 216	<b>5</b> Ls 100.2° 217	<b>6</b> Ls 100.7° 218
	const Leo 2.38 dist 1.73	const Leo 2.38 dist 1.74	const Leo 2.39 dist 1.75	const Leo 2.39 dist 1.76	const Leo 2.39 dist 1.76	const Leo 2.40 dist 1.77
<b>7</b> Ls 101.1° 219	<b>8</b> Ls 101.6° 220	<b>9</b> Ls 102.0° 221	<b>10</b> Ls 102.5° 222	<b>11</b> Ls 102.9° 223	<b>12</b> Ls 103.4° 224	<b>13</b> Ls 103.8° 225
const Leo 2.40 dist 1.79	const Leo 2.41 dist 1.79	const Leo 2.41 dist 1.78	const Leo 2.41 dist 1.78	const Leo 2.42 dist 1.77	const Leo 2.42 dist 1.77	const Leo 2.43 dist 1.77
<b>14</b> Ls 104.3° 226	<b>15</b> Ls 104.7° 227	<b>16</b> Ls 105.2° 228	<b>17</b> Ls 105.6° 229	<b>18</b> Ls 106.1° 230	<b>19</b> Ls 106.5° 231	<b>20</b> Ls 107.0° 232
const Leo 2.43 dist 1.79	const Leo 2.43 dist 1.78	const Leo 2.44 dist 1.77	const Leo 2.44 dist 1.77	const Vir 2.44 dist 1.78	const Vir 2.45 dist 1.78	const Vir 2.45 dist 1.76
<b>21</b> Ls 107.5° 233	<b>22</b> Ls 107.9° 234	<b>23</b> Ls 108.4° 235	<b>24</b> Ls 108.8° 236	<b>25</b> Ls 109.3° 237	<b>26</b> Ls 109.7° 238	<b>27</b> Ls 110.2° 239
const Vir 2.45 dist 1.75	const Vir 2.46 dist 1.74	const Vir 2.46 dist 1.73	const Vir 2.46 dist 1.72	const Vir 2.47 dist 1.69	const Vir 2.47 dist 1.69	const Vir 2.47 dist 1.69
<b>28</b> Ls 110.6° 239	<b>29</b> Ls 111.1° 240	<b>30</b> Ls 111.6° 241	<b>31</b> Ls 112.0° 242	<b>1</b>	<b>2</b>	<b>3</b>
const Vir 2.48 dist 1.68	const Vir 2.48 dist 1.67	const Vir 2.48 dist 1.67	const Vir 2.48 dist 1.66			

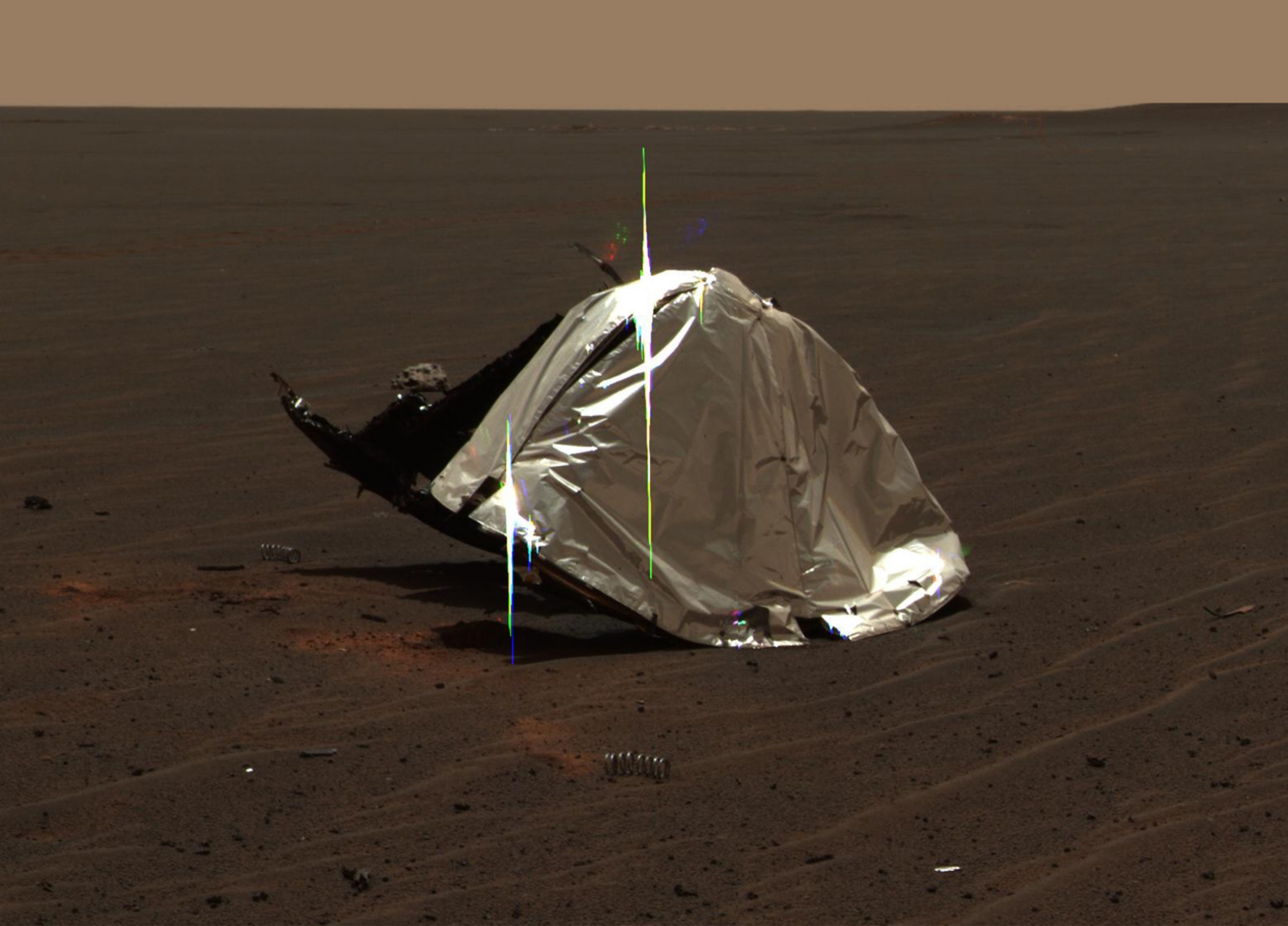


# SEPTIEMBRE 2023

Dos imágenes de la formación rocosa conocida como Stone Mountain: la izquierda en luz natural y la derecha con colores falsos asignados para resaltar los detalles presentes, en particular las formaciones esféricas granulares a su alrededor. Ambas fueron captadas con la cámara panorámica del Opportunity.

9 de febrero de 2004 • Meridiani Planum • MER-B (Opportunity) • NASA/JPL-Caltech/Cornell/USGS

Lunes	Martes	Miércoles	Jueves	Viernes	Sábado	Domingo
28	29	30	31	1 Ls 112.5° 243	2 Ls 112.9° 244	3 Ls 113.4° 245
4 Ls 113.9° 246	5 Ls 114.3° 247	6 Ls 114.8° 248	7 Ls 115.2° 249	8 Ls 115.7° 250	9 Ls 116.2° 251	10 Ls 116.6° 252
const Vir 2.50 magn 1.64	const Vir 2.50 magn 1.65	const Vir 2.50 magn 1.66	const Vir 2.50 magn 1.67	const Vir 2.50 magn 1.67	const Vir 2.51 magn 1.68	const Vir 2.51 magn 1.69
11 Ls 117.1° 253	12 Ls 117.6° 254	13 Ls 118.0° 255	14 Ls 118.5° 256	15 Ls 119.0° 257	16 Ls 119.4° 258	17 Ls 119.9° 259
const Vir 2.51 magn 1.69	const Vir 2.51 magn 1.70	const Vir 2.52 magn 1.71	const Vir 2.52 magn 1.71	const Vir 2.52 magn 1.70	const Vir 2.52 magn 1.70	const Vir 2.52 magn 1.68
18 Ls 120.4° 260	19 Ls 120.8° 261	20 Ls 121.3° 262	21 Ls 121.8° 263	22 Ls 122.2° 264	23 Ls 122.7° 265	24 Ls 123.2° 266
const Vir 2.52 magn 1.68	const Vir 2.53 magn 1.67	const Vir 2.53 magn 1.69	const Vir 2.53 magn 1.69	const Vir 2.53 magn 1.67	const Vir 2.53 magn 1.67	const Vir 2.53 magn 1.68
25 Ls 123.6° 267	26 Ls 124.1° 268	27 Ls 124.6° 269	28 Ls 125.1° 270	29 Ls 125.5° 271	30 Ls 126.0° 271	1
const Vir 2.53 magn 1.67	const Vir 2.54 magn 1.65	const Vir 2.54 magn 1.64	const Vir 2.54 magn 1.63	const Vir 2.54 magn 1.62	const Vir 2.54 magn 1.61	

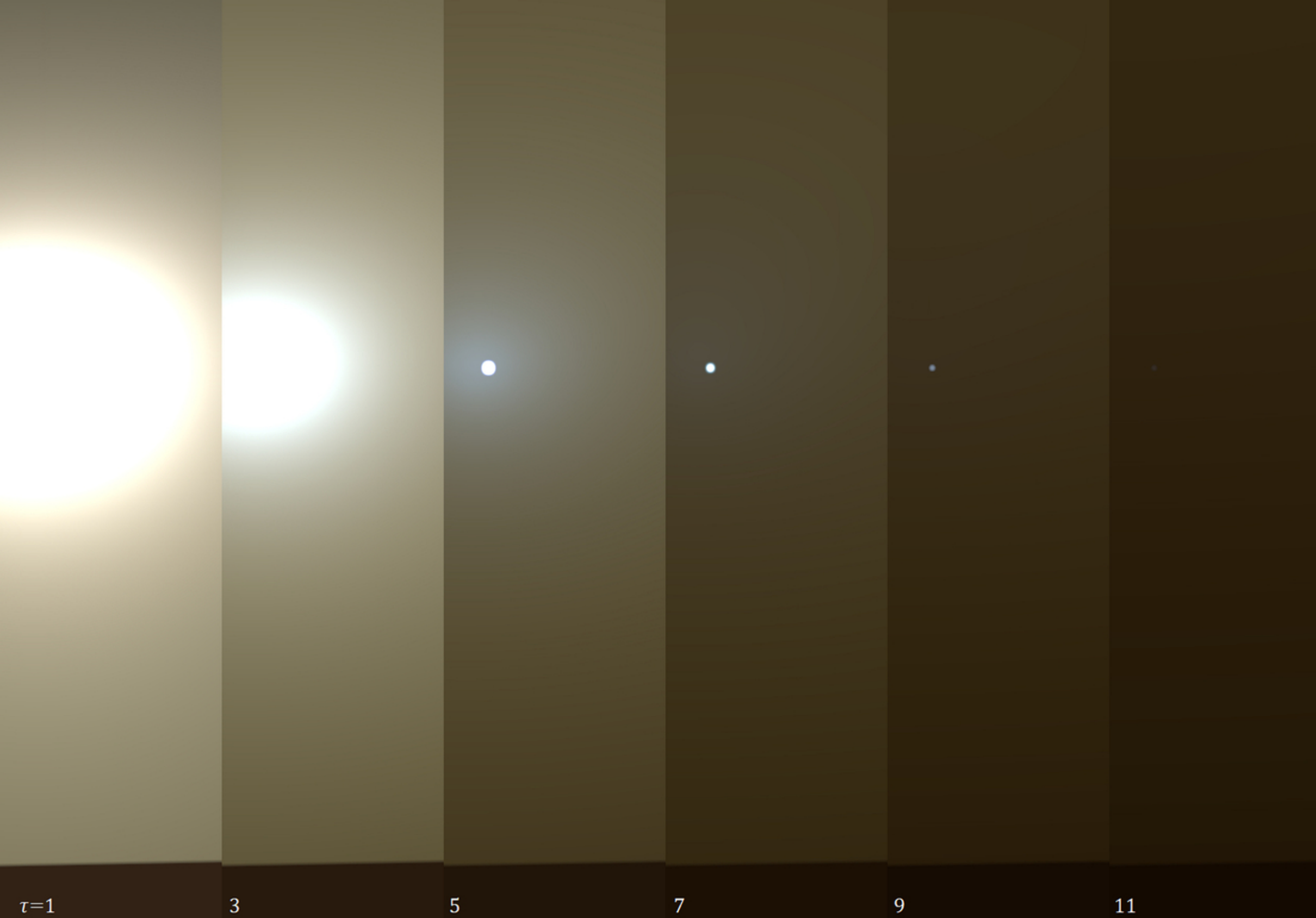


# OCTUBRE 2023

Restos del escudo térmico que protegió al Opportunity de temperaturas de más de 1000°C durante su entrada a la atmósfera marciana. En la fotografía se ven también resortes y otros escombros desperdigados por la superficie después del impacto a alta velocidad. Las rayas verticales son reflejos del Sol en la estructura de aluminio.

2 de enero de 2004 • Meridiani Planum • MER-B (Opportunity) • NASA/JPL-Caltech/Cornell

Lunes	Martes	Miércoles	Jueves	Viernes	Sábado	Domingo
25	26	27	28	29	30	1 Ls 126.5°
						const Vir dist 2.54 magn 1.58
2 Ls 127.0°	3 Ls 127.4°	4 Ls 127.9°	5 Ls 128.4°	6 Ls 128.9°	7 Ls 129.4°	8 Ls 129.8°
274	275	276	277	278	279	
const Vir dist 2.54 magn 1.57	const Vir dist 2.54 magn 1.57	const Vir dist 2.54 magn 1.56	const Vir dist 2.54 magn 1.55	const Vir dist 2.55 magn 1.54	const Vir dist 2.55 magn 1.54	const Vir dist 2.55 magn 1.53
9 Ls 130.3°	10 Ls 130.8°	11 Ls 131.3°	12 Ls 131.8°	13 Ls 132.3°	14 Ls 132.7°	15 Ls 133.2°
280	281	282	283	284	285	286
const Vir dist 2.55 magn 1.51	const Vir dist 2.55 magn 1.50	const Vir dist 2.55 magn 1.50	const Vir dist 2.55 magn 1.51	const Vir dist 2.55 magn 1.52	const Vir dist 2.55 magn 1.53	const Vir dist 2.55 magn 1.53
16 Ls 133.7°	17 Ls 134.2°	18 Ls 134.7°	19 Ls 135.2°	20 Ls 135.7°	21 Ls 136.2°	22 Ls 136.6°
287	288	289	290	291	292	293
const Vir dist 2.55 magn 1.54	const Vir dist 2.55 magn 1.55	Máximo alejamiento entre Marte y la Tierra	const Vir dist 2.55 magn 1.55	const Vir dist 2.55 magn 1.57	const Vir dist 2.55 magn 1.57	const Vir dist 2.55 magn 1.56
23 Ls 137.1°	24 Ls 137.6°	25 Ls 138.1°	26 Ls 138.6°	27 Ls 139.1°	28 Ls 139.6°	29 Ls 140.1°
294	295	296	297	298	299	300
const Vir dist 2.55 magn 1.55	const Vir dist 2.55 magn 1.54	const Lib dist 2.55 magn 1.53	const Lib dist 2.55 magn 1.53	const Lib dist 2.55 magn 1.55	const Lib dist 2.55 magn 1.54	const Lib dist 2.55 magn 1.52
30 Ls 140.6°	31 Ls 141.1°	1	2	3	4	5
301	302					
const Lib dist 2.55 magn 1.52	const Lib dist 2.55 magn 1.53					



$\tau=1$

3

5

7

9

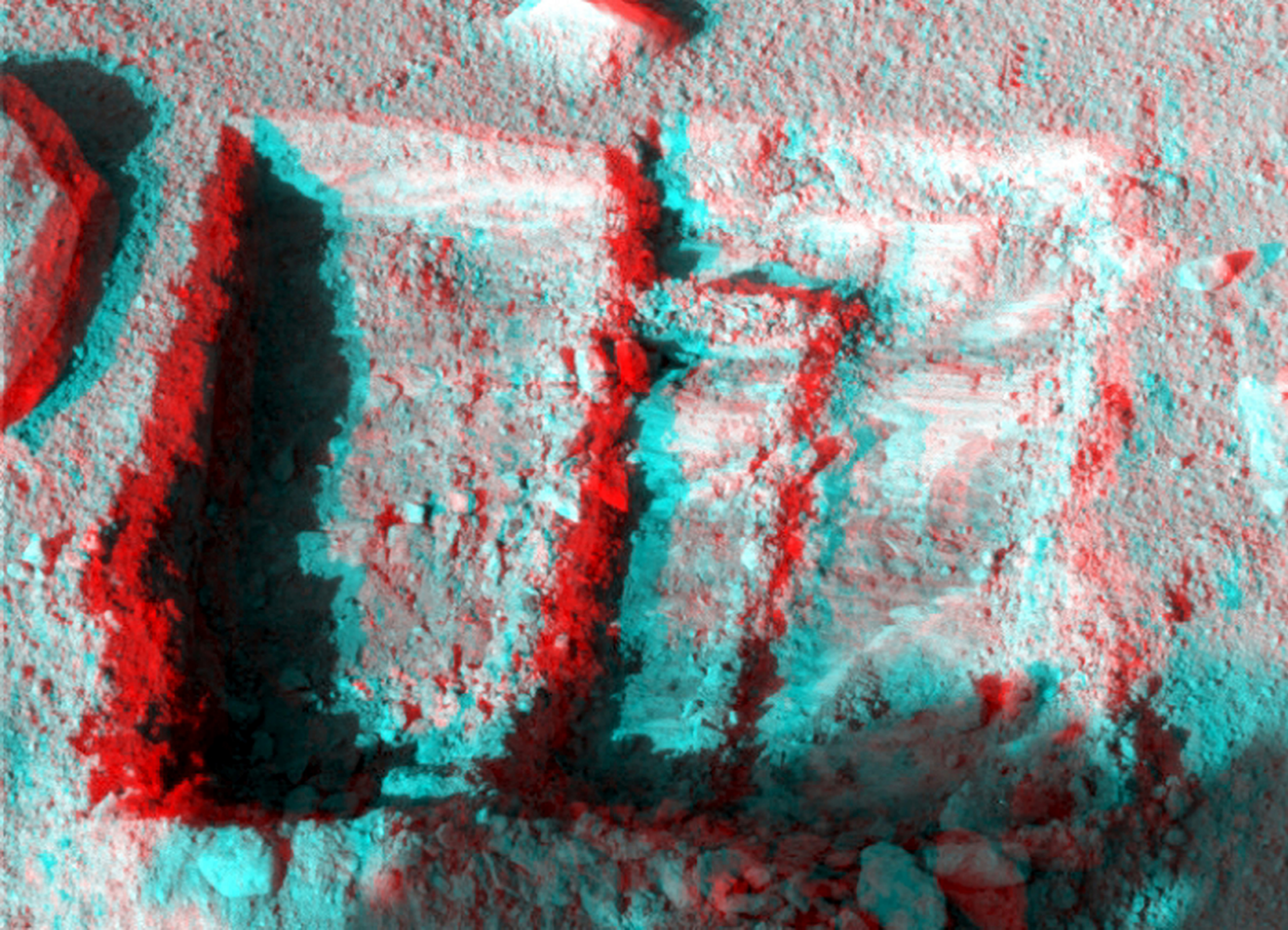
11

# NOVIEMBRE 2023

Esta secuencia de imágenes simuladas muestra el oscurecimiento del cielo marciano medido por Opportunity durante las tormentas de polvo. La última imagen correspondería a la tormenta de polvo de junio de 2018, una de las más intensas observadas en Marte y la causa del fin de Opportunity después de 5,352 soles o 15 años terrestres.

12 de junio de 2018 • Meridiani Planum • MER-B (Opportunity) • NASA/JPL-Caltech/TAMU

Lunes	Martes	Miércoles	Jueves	Viernes	Sábado	Domingo
30	31	1 Ls 141.6° 303 const Lib dist 2.55 magn 1.52	2 Ls 142.1° 304 const Lib dist 2.54 magn 1.50	3 Ls 142.6° 305 const Lib dist 2.54 magn 1.49	4 Ls 143.1° 306 const Lib dist 2.54 magn 1.47	5 Ls 143.6° 307 const Lib dist 2.54 magn 1.46
6 Ls 144.1° 308 const Lib dist 2.54 magn 1.45	7 Ls 144.6° 309 const Lib dist 2.54 magn 1.42	8 Ls 145.1° 310 const Lib dist 2.54 magn 1.41	9 Ls 145.6° 311 const Lib dist 2.54 magn 1.40	10 Ls 146.1° 312 const Lib dist 2.54 magn 1.39	11 Ls 146.6° 313 const Lib dist 2.53 magn 1.38	12 Ls 147.1°
13 Ls 147.6° 314 const Lib dist 2.53 magn 1.36	14 Ls 148.1° 315 const Lib dist 2.53 magn 1.34	15 Ls 148.6° 316 const Lib dist 2.53 magn 1.33	16 Ls 149.1° 317 const Lib dist 2.53 magn 1.31	17 Ls 149.7° 318 const Lib dist 2.53 magn 1.31	18 Ls 150.2° 319 const Lib dist 2.53 magn 1.31	19 Ls 150.7° 320 const Lib dist 2.52 magn 1.32
20 Ls 151.2° 321 const Lib dist 2.52 magn 1.34	21 Ls 151.7° 322 const Lib dist 2.52 magn 1.34	22 Ls 152.2° 323 const Lib dist 2.52 magn 1.35	23 Ls 152.7° 324 const Lib dist 2.52 magn 1.37	24 Ls 153.3° 325 const Lib dist 2.52 magn 1.37	25 Ls 153.8° 326 const Lib dist 2.51 magn 1.38	26 Ls 154.3° 327 const Sco dist 2.51 magn 1.39
27 Ls 154.8° 328 const Sco dist 2.51 magn 1.40	28 Ls 155.3° 329 const Sco dist 2.51 magn 1.40	29 Ls 155.9° 330 const Sco dist 2.51 magn 1.40	30 Ls 156.4° 331 const Sco dist 2.51 magn 1.39	1	2	3



# DICIEMBRE 2023

La misión Phoenix amartizó en una región cercana al polo norte con el objetivo de estudiar el clima y la geología de las regiones polares de Marte. En anaglifo se muestran fotografías del foso llamado "La Mancha", el cual Phoenix escarbó con su brazo robótico para descubrir la capa de hielo a unos centímetros debajo de la superficie.

7 de octubre de 2008 • Vastitas Borealis • Phoenix • NASA/JPL-Caltech/U Arizona/Texas A&M

Lunes	Martes	Miércoles	Jueves	Viernes	Sábado	Domingo
27	28	29	30	1 Ls 156.9° const Sco dist 2.50 magn 1.38	2 Ls 157.4° const Sco dist 2.50 magn 1.38	3 Ls 158.0° const Sco dist 2.50 magn 1.40
4 Ls 158.5° const Sco dist 2.50 magn 1.40	5 Ls 159.0° const Sco dist 2.50 magn 1.39	6 Ls 159.5° const Oph dist 2.49 magn 1.39	7 Ls 160.1° const Oph dist 2.49 magn 1.40	8 Ls 160.6° const Oph dist 2.49 magn 1.41	9 Ls 161.1° const Oph dist 2.49 magn 1.39	10 Ls 161.6° const Oph dist 2.48 magn 1.39
Inicia temporada de tormentas de polvo						
11 Ls 162.2° const Oph dist 2.48 magn 1.38	12 Ls 162.7° const Oph dist 2.48 magn 1.37	13 Ls 163.2° const Oph dist 2.48 magn 1.37	14 Ls 163.8° const Oph dist 2.47 magn 1.36	15 Ls 164.3° const Oph dist 2.47 magn 1.34	16 Ls 164.9° const Oph dist 2.47 magn 1.36	17 Ls 165.4° const Oph dist 2.47 magn 1.34
18 Ls 165.9° 348	19 Ls 166.5° 349	20 Ls 167.0° 350	21 Ls 167.6° 351	22 Ls 168.1° 352	23 Ls 168.6° 353	24 Ls 169.2° 354
25 Ls 169.7° 355	26 Ls 170.3° 356	27 Ls 170.8° 357	28 Ls 171.4° 358	29 Ls 171.9° 359	30 Ls 172.5° 360	31 Ls 173.0° 361
const Oph dist 2.44 magn 1.35	const Oph dist 2.44 magn 1.36	const Oph dist 2.44 magn 1.38	const Oph dist 2.44 magn 1.39	const Oph dist 2.43 magn 1.40	const Oph dist 2.43 magn 1.41	const Oph dist 2.43 magn 1.41

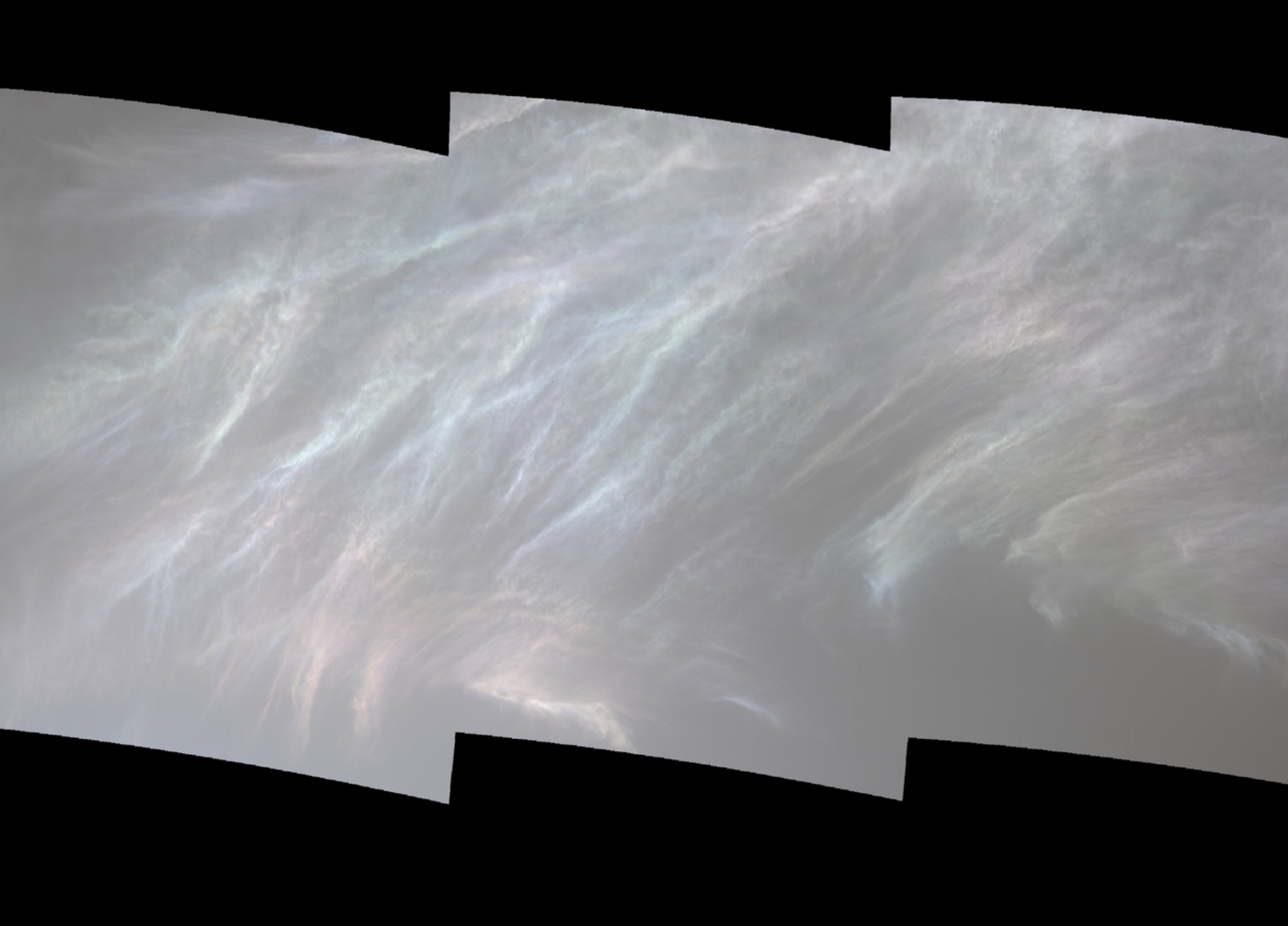


# ENERO 2024

Foto de una curiosa, frágil y diminuta formación rocosa, con apéndices que la hacen parecer una "flor marciana" o un coral.  
Se piensa que estas estructuras rocosas se formaron en el pasado remoto cuando los minerales transportados por el agua subterránea se consolidaron dentro de conductos en la roca por la cual pasaban. La "flor" mide menos de 2 cm.

24 de febrero de 2021 • Cráter Gale • MSL (Curiosity) • NASA/JPL-Caltech/MSSS

Lunes	Martes	Miércoles	Jueves	Viernes	Sábado	Domingo
<b>1</b> Ls 173.6° 362 const Sgr 2.42 magn 1.42	<b>2</b> Ls 174.1° 363 const Sgr 2.42 magn 1.43	<b>3</b> Ls 174.7° 364 const Sgr 2.42 magn 1.44	<b>4</b> Ls 175.2° 365 const Sgr 2.41 magn 1.44	<b>5</b> Ls 175.8° 366 const Sgr 2.41 magn 1.43	<b>6</b> Ls 176.3° 367 const Sgr 2.41 magn 1.42	<b>7</b> Ls 176.9° 368 const Sgr 2.41 magn 1.41
<b>8</b> Ls 177.5° 369 const Sgr 2.40 magn 1.41	<b>9</b> Ls 178.0° 370 const Sgr 2.40 magn 1.42	<b>10</b> Ls 178.6° 371 const Sgr 2.40 magn 1.42	<b>11</b> Ls 179.1° 372 const Sgr 2.39 magn 1.41	<b>12</b> Ls 179.7° 373 const Sgr 2.39 magn 1.40	Equinoccio de Otoño	
<b>15</b> Ls 181.4° 376 const Sgr 2.38 magn 1.40	<b>16</b> Ls 182.0° 377 const Sgr 2.38 magn 1.38	<b>17</b> Ls 182.5° 378 const Sgr 2.37 magn 1.37	<b>18</b> Ls 183.1° 379 const Sgr 2.37 magn 1.36	<b>19</b> Ls 183.7° 380 const Sgr 2.37 magn 1.35	<b>20</b> Ls 184.2° 381 const Sgr 2.36 magn 1.34	<b>21</b> Ls 184.8° 382 const Sgr 2.36 magn 1.31
<b>22</b> Ls 185.4° 383 const Sgr 2.35 magn 1.32	<b>23</b> Ls 186.0° 384 const Sgr 2.35 magn 1.30	<b>24</b> Ls 186.5° 385 const Sgr 2.35 magn 1.30	<b>25</b> Ls 187.1° 386 const Sgr 2.34 magn 1.29	<b>26</b> Ls 187.7° 387 const Sgr 2.34 magn 1.29	<b>27</b> Ls 188.3° 388 const Sgr 2.34 magn 1.28	<b>28</b> Ls 188.9° 389 const Sgr 2.33 magn 1.27
<b>29</b> Ls 189.4° 389 const Sgr 2.33 magn 1.26	<b>30</b> Ls 190.0° 390 const Sgr 2.33 magn 1.25	<b>31</b> Ls 190.6° 391 const Sgr 2.32 magn 1.26	<b>1</b>	<b>2</b>	<b>3</b>	<b>4</b>



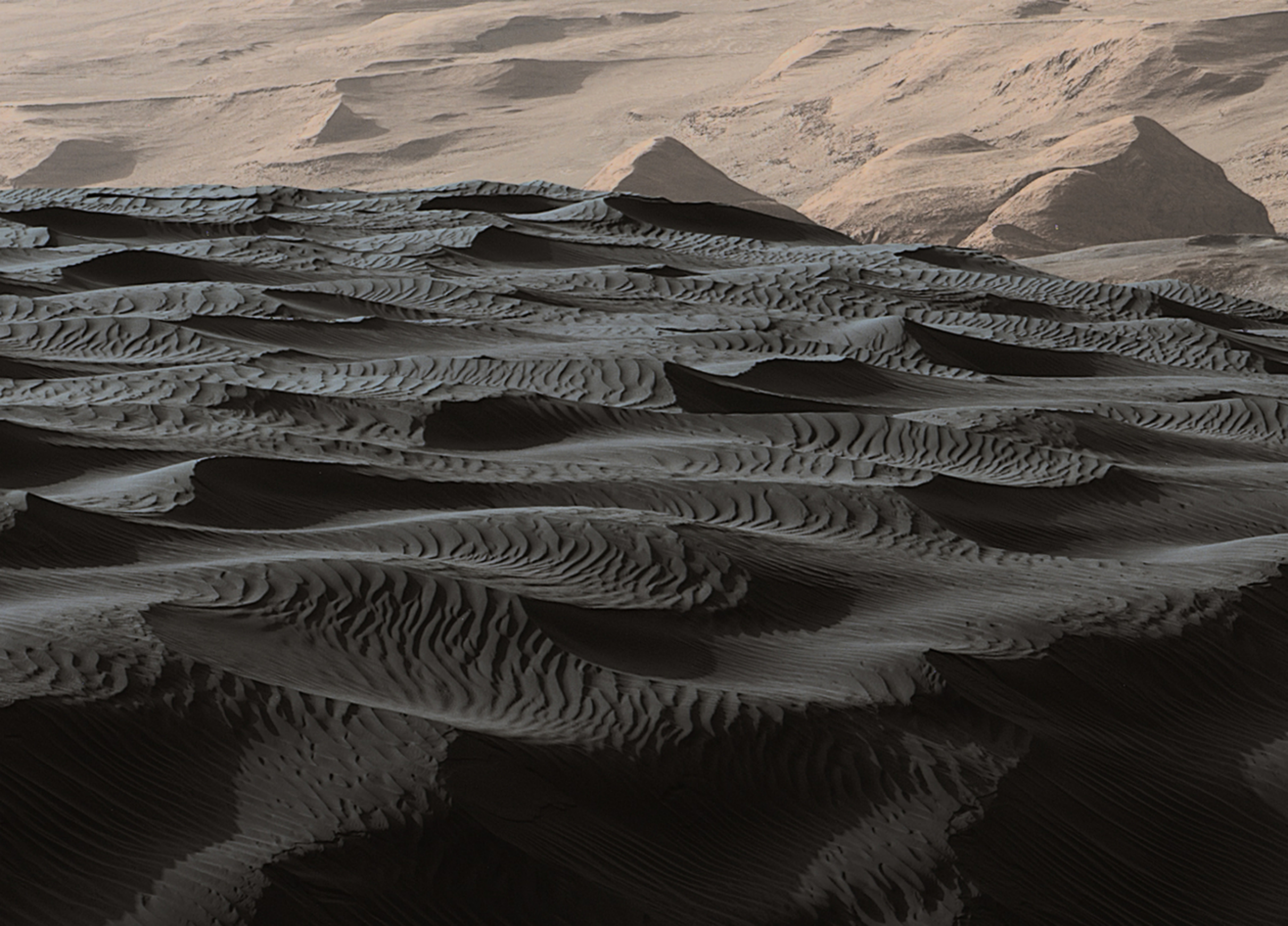
# FEBRERO 2024



Las nubes son rasgos comunes en Marte a pesar de lo delgada que es su atmósfera. Como apenas hay trazas de agua en la atmósfera, la mayoría de las nubes marcianas están compuestas de cristales de dióxido de carbono que se ha congelado a gran altitud. Estas finas nubes iridiscentes se aprecian mejor durante el amanecer o el atardecer.

5 de marzo de 2021 • Cráter Gale • MSL (Curiosity) • NASA/JPL-Caltech/MSSS

Lunes	Martes	Miércoles	Jueves	Viernes	Sábado	Domingo
<b>29</b>	<b>30</b>	<b>31</b>	<b>1</b> Ls 191.2° 392 const Sgr dist 2.32 magn 1.27	<b>2</b> Ls 191.7° 393 const Sgr dist 2.32 magn 1.28	<b>3</b> Ls 192.3° 394 const Sgr dist 2.31 magn 1.29	<b>4</b> Ls 192.9° 395 const Sgr dist 2.31 magn 1.30
<b>5</b> Ls 193.5° 396 const Sgr dist 2.30 magn 1.31	<b>6</b> Ls 194.1° 397 const Sgr dist 2.30 magn 1.31	<b>7</b> Ls 194.7° 398 const Sgr dist 2.30 magn 1.31	<b>8</b> Ls 195.3° 399 const Sgr dist 2.29 magn 1.32	<b>9</b> Ls 195.8° 400 const Sgr dist 2.29 magn 1.33	<b>10</b> Ls 196.4° 401 const Sgr dist 2.29 magn 1.33	<b>11</b> Ls 197.0° 402 const Sgr dist 2.28 magn 1.32
<b>12</b> Ls 197.6° 403 const Sgr dist 2.28 magn 1.31	<b>13</b> Ls 198.2° 404 const Cap dist 2.27 magn 1.30	<b>14</b> Ls 198.8° 405 const Cap dist 2.27 magn 1.30	<b>15</b> Ls 199.4° 406 const Cap dist 2.27 magn 1.31	<b>16</b> Ls 200.0° 407 const Cap dist 2.26 magn 1.32	<b>17</b> Ls 200.6° 408 const Cap dist 2.26 magn 1.31	<b>18</b> Ls 201.2° 409 const Cap dist 2.26 magn 1.30
<b>19</b> Ls 201.8° 410 const Cap dist 2.25 magn 1.31	<b>20</b> Ls 202.4° 411 const Cap dist 2.25 magn 1.31	<b>21</b> Ls 203.0° 412 const Cap dist 2.24 magn 1.30	<b>22</b> Ls 203.6° 413 const Cap dist 2.24 magn 1.31	<b>23</b> Ls 204.2° 414 const Cap dist 2.24 magn 1.32	<b>24</b> Ls 204.8° 415 const Cap dist 2.23 magn 1.31	<b>25</b> Ls 205.4° 416 const Cap dist 2.23 magn 1.26
<b>26</b> Ls 206.0° 417 const Cap dist 2.23 magn 1.25	<b>27</b> Ls 206.6° 418 const Cap dist 2.22 magn 1.22	<b>28</b> Ls 207.2° 419 const Cap dist 2.22 magn 1.24	<b>29</b> Ls 207.8° 1 const Cap dist 2.21 magn 1.22	<b>1</b>	<b>2</b>	<b>3</b>
			Conjunción Marte-Venus			



# MARZO 2024



El primer estudio de un sistema activo de dunas en otro cuerpo celeste fue en las "Dunas de Bangold", un grupo de dunas de color gris oscuro hechas de regolito basáltico y ubicadas en el flanco noroeste del monte Sharp. Muestras tomadas de estas dunas han sido analizadas y se ha determinado que incluso contienen trazas de moléculas orgánicas.

13 de diciembre de 2015 • Cráter Gale • MSL (Curiosity) • NASA/JPL-Caltech/MSSS

Lunes	Martes	Miércoles	Jueves	Viernes	Sábado	Domingo
26	27	28	29	1 Ls 208.4° const Cap 2.21 dist 1.21 magn 1.21	2 Ls 209.0° 421 const Cap 2.21 dist 1.21 magn 1.21	3 Ls 209.6° 422 const Cap 2.20 dist 1.21 magn 1.21
4 Ls 210.2° 423 const Cap 2.20 dist 1.20 magn 1.20	5 Ls 210.8° 424 const Cap 2.19 dist 1.19 magn 1.19	6 Ls 211.4° 425 const Cap 2.19 dist 1.19 magn 1.19	7 Ls 212.0° 426 const Cap 2.19 dist 1.18 magn 1.18	8 Ls 212.7° 427 const Cap 2.18 dist 1.20 magn 1.20	9 Ls 213.3° 428 const Cap 2.18 dist 1.21 magn 1.21	10 Ls 213.9° 429 const Cap 2.18 dist 1.22 magn 1.22
11 Ls 214.5° 430 const Cap 2.17 dist 1.23 magn 1.23	12 Ls 215.1° 431 const Cap 2.17 dist 1.24 magn 1.24	13 Ls 215.7° 432 const Cap 2.16 dist 1.25 magn 1.25	14 Ls 216.3° 433 const Cap 2.16 dist 1.26 magn 1.26	15 Ls 217.0° 434 const Cap 2.16 dist 1.26 magn 1.26	16 Ls 217.6° 435 const Cap 2.15 dist 1.28 magn 1.28	17 Ls 218.2° 436 const Cap 2.15 dist 1.29 magn 1.29
18 Ls 218.8° 437 const Cap 2.14 dist 1.29 magn 1.29	19 Ls 219.4° 438 const Cap 2.14 dist 1.28 magn 1.28	20 Ls 220.0° 439 const Aqr 2.14 dist 1.27 magn 1.27	21 Ls 220.7° 440 const Aqr 2.13 dist 1.26 magn 1.26	22 Ls 221.3° 441 const Aqr 2.13 dist 1.26 magn 1.26	23 Ls 221.9° 442 const Aqr 2.12 dist 1.27 magn 1.27	24 Ls 222.5° 443 const Aqr 2.12 dist 1.27 magn 1.27
25 Ls 223.1° 444 const Aqr 2.12 dist 1.25 magn 1.25	26 Ls 223.8° 445 const Aqr 2.11 dist 1.24 magn 1.24	27 Ls 224.4° 446 const Aqr 2.11 dist 1.25 magn 1.25	28 Ls 225.0° 447 const Aqr 2.11 dist 1.24 magn 1.24	29 Ls 225.6° 448 const Aqr 2.10 dist 1.22 magn 1.22	30 Ls 226.3° 449 const Aqr 2.10 dist 1.20 magn 1.20	31 Ls 226.9° 450 const Aqr 2.09 dist 1.18 magn 1.18

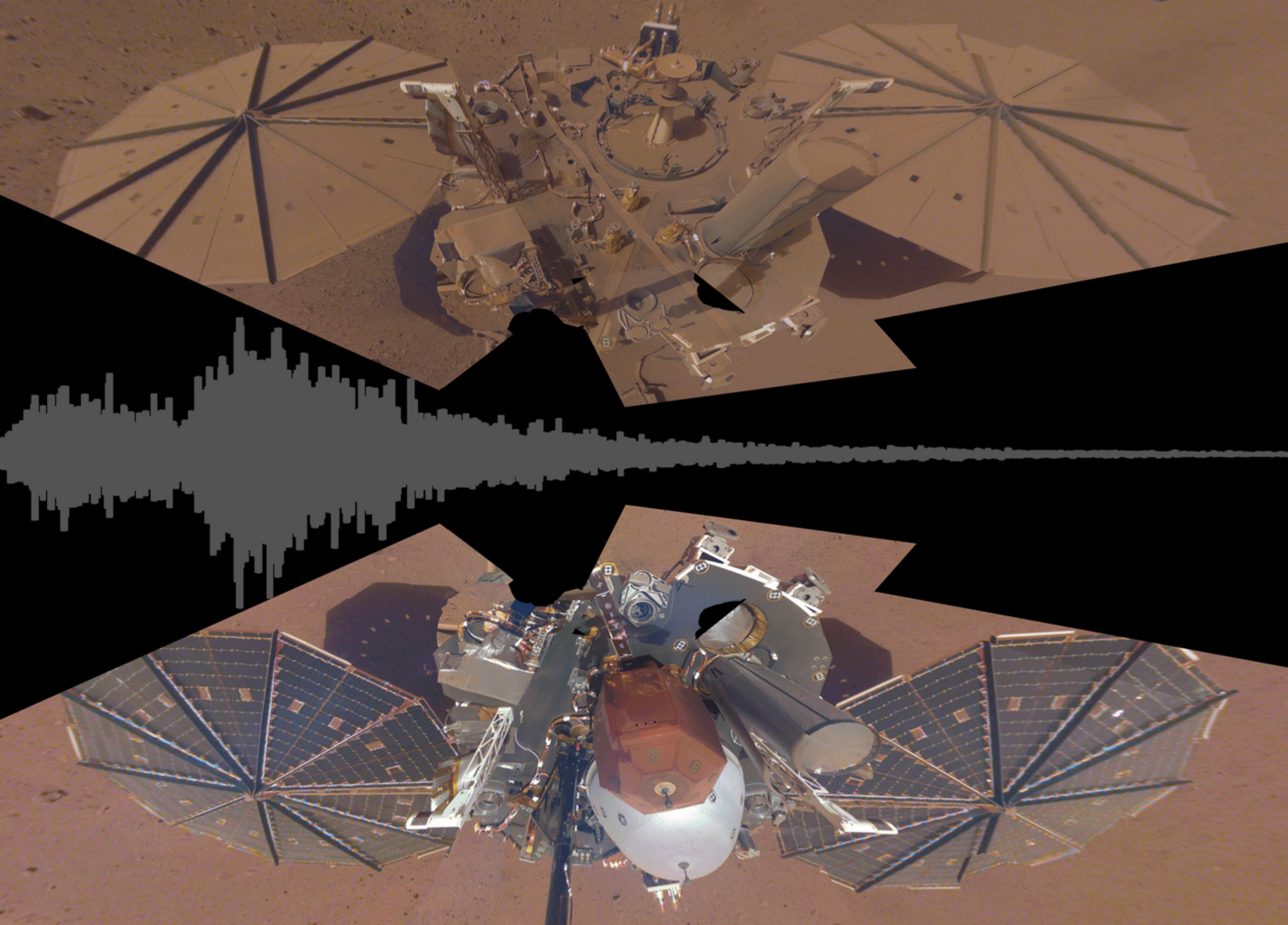


# ABRIL 2024

A lo largo del tiempo las misiones marcianas han encontrado varios meteoritos yaciendo sobre la superficie del planeta, donde pueden mantenerse en prístinas condiciones por millones de años. Este ejemplar de dos centímetros, compuesto por hierro y níquel, fue analizado por Curiosity por medio de su espectrómetro de láser pulsado.

30 de octubre de 2016 • Cráter Gale • MSL (Curiosity) • NASA/JPL-Caltech/MSSS

Lunes	Martes	Miércoles	Jueves	Viernes	Sábado	Domingo
<b>1</b> Ls 227.5° 451 const Aqr 2.09 dist 1.17	<b>2</b> Ls 228.1° 452 const Aqr 2.09 dist 1.15	<b>3</b> Ls 228.8° 453 const Aqr 2.08 dist 1.12	<b>4</b> Ls 229.4° 454 const Aqr 2.08 dist 1.10	<b>5</b> Ls 230.0° 455 const Aqr 2.08 dist 1.10	<b>6</b> Ls 230.6° 456 const Aqr 2.07 dist 1.09	<b>7</b> Ls 231.3° 456 const Aqr 2.07 dist 1.08
const Aqr 2.09 dist 1.17	const Aqr 2.09 dist 1.15	const Aqr 2.08 dist 1.12	const Aqr 2.08 dist 1.10	const Aqr 2.08 dist 1.10	const Aqr 2.07 dist 1.09	const Aqr 2.07 dist 1.08
<b>8</b> Ls 231.9° 458 const Aqr 2.06 dist 1.07	<b>9</b> Ls 232.5° 459 const Aqr 2.06 dist 1.07	<b>10</b> Ls 233.2° 460 Conjunción Marte-Saturno const Aqr 2.06 dist 1.06	<b>11</b> Ls 233.8° 461 const Aqr 2.05 dist 1.05	<b>12</b> Ls 234.4° 461 const Aqr 2.05 dist 1.04	<b>13</b> Ls 235.0° 462 const Aqr 2.04 dist 1.05	<b>14</b> Ls 235.7° 463 const Aqr 2.04 dist 1.06
const Aqr 2.06 dist 1.07	const Aqr 2.06 dist 1.07	const Aqr 2.06 dist 1.06	const Aqr 2.05 dist 1.05	const Aqr 2.05 dist 1.04	const Aqr 2.04 dist 1.05	const Aqr 2.04 dist 1.06
<b>15</b> Ls 236.3° 464 const Aqr 2.04 dist 1.07	<b>16</b> Ls 236.9° 465 const Aqr 2.03 dist 1.09	<b>17</b> Ls 237.6° 466 const Aqr 2.03 dist 1.09	<b>18</b> Ls 238.2° 467 const Aqr 2.03 dist 1.10	<b>19</b> Ls 238.8° 468 const Aqr 2.03 dist 1.11	<b>20</b> Ls 239.5° 469 const Aqr 2.02 dist 1.12	<b>21</b> Ls 240.1° 470 const Aqr 2.01 dist 1.13
const Aqr 2.04 dist 1.07	const Aqr 2.03 dist 1.09	const Aqr 2.03 dist 1.09	const Aqr 2.03 dist 1.10	const Aqr 2.03 dist 1.11	const Aqr 2.02 dist 1.12	const Aqr 2.01 dist 1.13
<b>22</b> Ls 240.7° 471 const Aqr 2.01 dist 1.15	<b>23</b> Ls 241.4° 472 const Aqr 2.01 dist 1.16	<b>24</b> Ls 242.0° 473 const Aqr 2.00 dist 1.16	<b>25</b> Ls 242.6° 474 const Psc 2.00 dist 1.16	<b>26</b> Ls 243.3° 475 const Psc 2.00 dist 1.15	<b>27</b> Ls 243.9° 476 const Psc 1.99 dist 1.15	<b>28</b> Ls 244.5° 477 const Psc 1.99 dist 1.16
const Aqr 2.01 dist 1.15	const Aqr 2.01 dist 1.16	const Aqr 2.00 dist 1.16	const Psc 2.00 dist 1.16	const Psc 2.00 dist 1.15	const Psc 1.99 dist 1.15	const Psc 1.99 dist 1.16
<b>29</b> Ls 245.2° 478 const Psc 1.98 dist 1.18	<b>30</b> Ls 245.8° 479 const Psc 1.98 dist 1.18	<b>1</b> <b>2</b> <b>3</b> <b>4</b> <b>5</b> Conjunción Marte-Neptuno const Psc 1.98 dist 1.18				



# MAYO 2024

La misión InSight amartizó en 2018 con la finalidad de estudiar los procesos y la estructura interna de Marte. Esta imagen compara el primer y el último autorretrato, evidenciando la tremenda acumulación de polvo. Entre ellos aparece el sismograma del terremoto de magnitud 5 registrado en mayo de 2022, el más intenso detectado en otro cuerpo celeste.

6 de diciembre de 2018 y 24 de abril de 2022 • Elysium Planitia • InSight • NASA/JPL-Caltech

Lunes	Martes	Miércoles	Jueves	Viernes	Sábado	Domingo
<b>29</b>	<b>30</b>	<b>1</b> Ls 246.4° 480 const Psc dist 1.98 magn 1.17	<b>2</b> Ls 247.1° 481 const Psc dist 1.97 magn 1.18	<b>3</b> Ls 247.7° 482 const Psc dist 1.97 magn 1.20	<b>4</b> Ls 248.3° 483 const Psc dist 1.97 magn 1.19	<b>5</b> Ls 249.0° 484 const Psc dist 1.96 magn 1.18
<b>6</b> Ls 249.6° 485 const Psc dist 1.96 magn 1.18	<b>7</b> Ls 250.2° 486 const Psc dist 1.95 magn 1.17	<b>8</b> Ls 250.9° 487 const Psc dist 1.95 magn 1.17	<b>9</b> Ls 251.5° 488 const Psc dist 1.95 magn 1.16	<b>10</b> Ls 252.1° 489 const Cet dist 1.94 magn 1.12	<b>11</b> Ls 252.8° 490 const Cet dist 1.94 magn 1.14	<b>12</b> Ls 253.4° 491 const Cet dist 1.94 magn 1.12
<b>13</b> Ls 254.0° 492 const Cet dist 1.93 magn 1.11	<b>14</b> Ls 254.7° 493 const Psc dist 1.93 magn 1.10	<b>15</b> Ls 255.3° 494 const Psc dist 1.92 magn 1.10	<b>16</b> Ls 255.9° 495 const Psc dist 1.92 magn 1.09	<b>17</b> Ls 256.6° 496 const Psc dist 1.92 magn 1.08	<b>18</b> Ls 257.2° 497 const Psc dist 1.91 magn 1.06	<b>19</b> Ls 257.9° 498 const Psc dist 1.91 magn 1.05
<b>20</b> Ls 258.5° 498 const Psc dist 1.90 magn 1.06	<b>21</b> Ls 259.1° 499 const Psc dist 1.90 magn 1.06	<b>22</b> Ls 259.8° 500 const Psc dist 1.90 magn 1.07	<b>23</b> Ls 260.4° 501 const Psc dist 1.89 magn 1.07	<b>24</b> Ls 261.0° 502 const Psc dist 1.89 magn 1.08	<b>25</b> Ls 261.7° 503 const Psc dist 1.89 magn 1.09	<b>26</b> Ls 262.3° 504 const Psc dist 1.88 magn 1.10
<b>27</b> Ls 262.9° 505 const Psc dist 1.88 magn 1.10	<b>28</b> Ls 263.5° 506 const Psc dist 1.87 magn 1.11	<b>29</b> Ls 264.2° 507 const Psc dist 1.87 magn 1.12	<b>30</b> Ls 264.8° 508 const Psc dist 1.87 magn 1.12	<b>31</b> Ls 265.4° 509 const Psc dist 1.86 magn 1.12	<b>1</b>	<b>2</b>

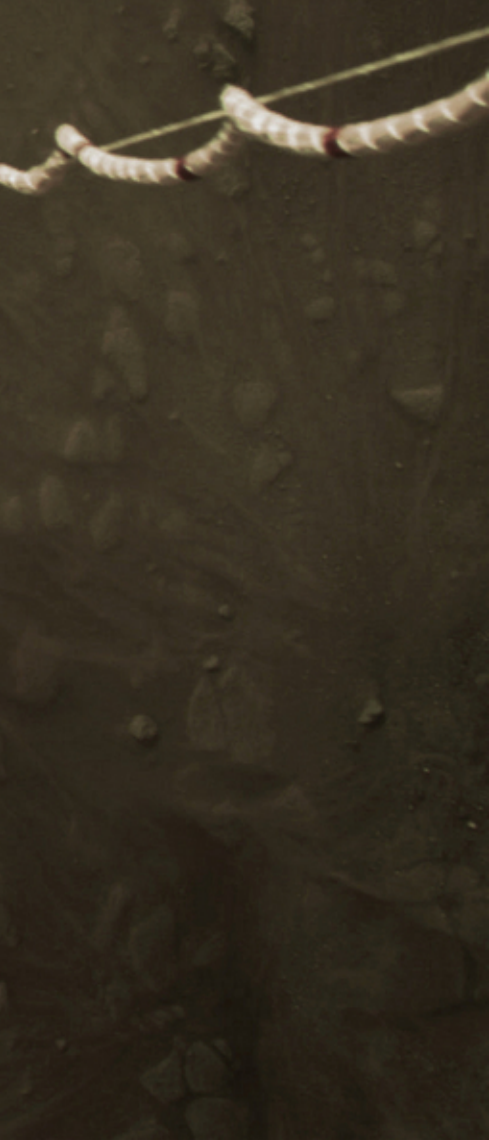


# JUNIO 2024

El paracaídas principal utilizado por Perseverance, fotografiado aquí durante el amartizaje, llevaba oculto en los patrones de colores un mensaje que fue descifrado por los fans en la Tierra: las coordenadas geográficas del Jet Propulsion Laboratory,  $34^{\circ} 11' 58''$  N,  $118^{\circ} 10' 31''$  O, y su lema, "DARE MIGHTY THINGS", o "atreverte a cosas grandiosas".

18 de febrero de 2021 • Syrtis Major • Mars 2020 (Perseverance) • NASA/JPL-Caltech

Lunes	Martes	Miércoles	Jueves	Viernes	Sábado	Domingo
27	28	29	30	31	1	2
					Ls $266.1^{\circ}$ const Psc dist 1.86 magn 1.11	Ls $266.7^{\circ}$ const Psc dist 1.86 magn 1.11
3 Ls $267.3^{\circ}$	4 Ls $268.0^{\circ}$	5 Ls $268.6^{\circ}$	6 Ls $269.2^{\circ}$	7 Ls $269.9^{\circ}$	8 Ls $270.5^{\circ}$	9 Ls $271.1^{\circ}$
512	513	514	515	516	517	518
const Psc dist 1.85 magn 1.10	const Psc dist 1.85 magn 1.12	const Psc dist 1.84 magn 1.13	const Psc dist 1.84 magn 1.12	const Psc dist 1.84 magn 1.12	const Psc dist 1.83 magn 1.13	const Psc dist 1.83 magn 1.13
10 Ls $271.7^{\circ}$	11 Ls $272.4^{\circ}$	12 Ls $273.0^{\circ}$	13 Ls $273.6^{\circ}$	14 Ls $274.2^{\circ}$	15 Ls $274.9^{\circ}$	16 Ls $275.5^{\circ}$
519	520	521	522	523	524	525
const Psc dist 1.82 magn 1.11	const Ari dist 1.82 magn 1.10	const Ari dist 1.82 magn 1.09	const Ari dist 1.81 magn 1.07	const Ari dist 1.81 magn 1.06	const Ari dist 1.80 magn 1.04	const Ari dist 1.80 magn 1.02
17 Ls $276.1^{\circ}$	18 Ls $276.7^{\circ}$	19 Ls $277.4^{\circ}$	20 Ls $278.0^{\circ}$	21 Ls $278.6^{\circ}$	22 Ls $279.2^{\circ}$	23 Ls $279.9^{\circ}$
526	527	528	529	530	531	
const Ari dist 1.80 magn 1.02	const Ari dist 1.79 magn 1.00	const Ari dist 1.79 magn 1.00	const Ari dist 1.78 magn 0.98	const Ari dist 1.78 magn 0.98	const Ari dist 1.78 magn 0.97	const Ari dist 1.77 magn 0.95
24 Ls $280.5^{\circ}$	25 Ls $281.1^{\circ}$	26 Ls $281.7^{\circ}$	27 Ls $282.3^{\circ}$	28 Ls $283.0^{\circ}$	29 Ls $283.6^{\circ}$	30 Ls $284.2^{\circ}$
532	533	534	535	536	537	538
const Ari dist 1.77 magn 0.94	const Ari dist 1.76 magn 0.94	const Ari dist 1.76 magn 0.96	const Ari dist 1.76 magn 0.97	const Ari dist 1.75 magn 0.98	const Ari dist 1.75 magn 0.99	const Ari dist 1.74 magn 1.01

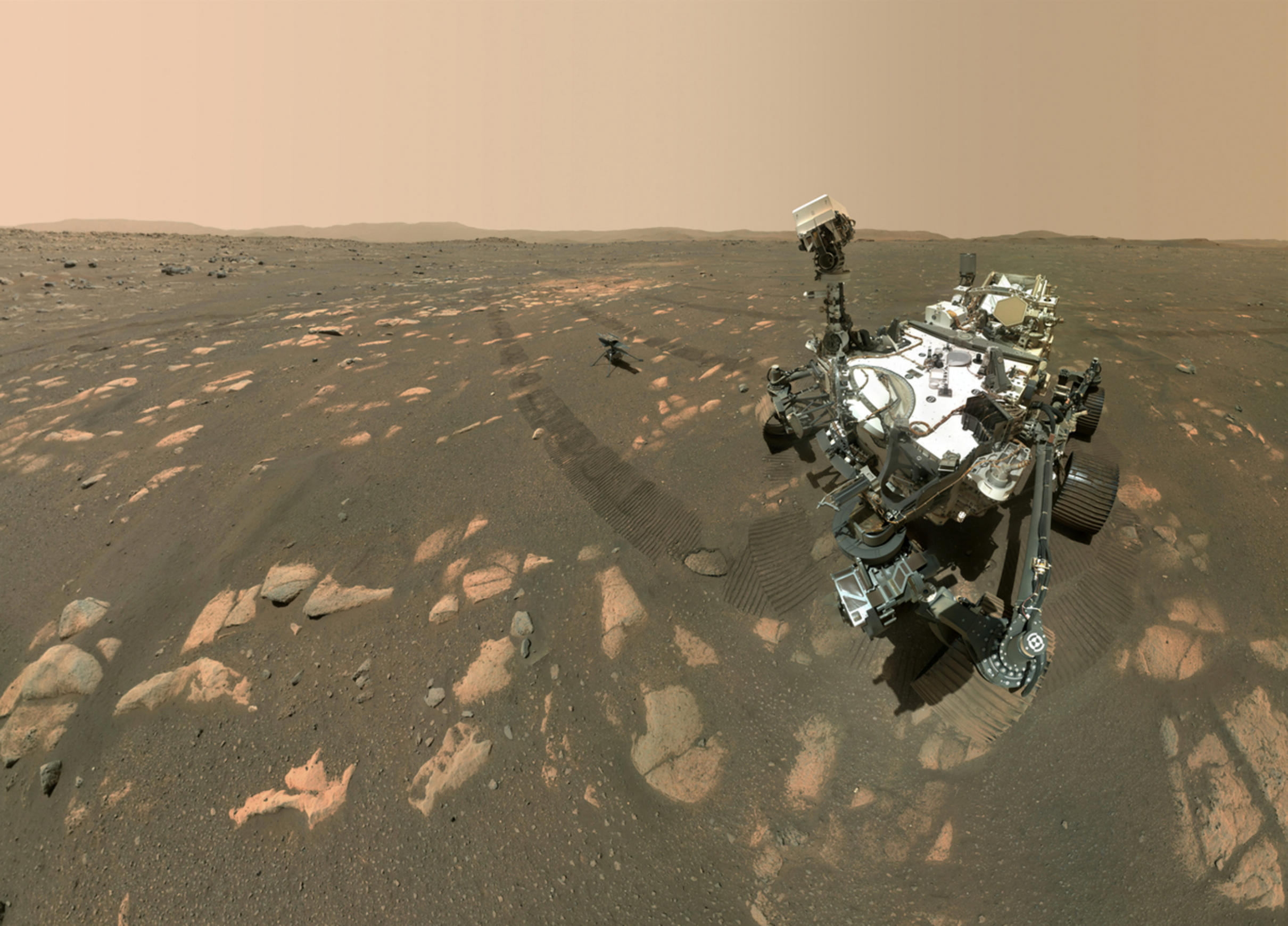


# JULIO 2024

Fotografía tomada por el Skycrane mientras bajaba al rover Perseverance hacia la superficie suspendido por cables, durante la última etapa de los "siete minutos del terror" del proceso de amartizaje. Tras depositarlo en el suelo 12 segundos después, los cables fueron cortados y el Skycrane voló para alejarse a una distancia segura.

18 de febrero de 2021 • Syrtis Major • Mars 2020 (Perseverance) • NASA/JPL-Caltech

Lunes	Martes	Miércoles	Jueves	Viernes	Sábado	Domingo
<b>1</b> Ls 284.8° 539 const Ari 1.74 magn 1.02	<b>2</b> Ls 285.4° 540 const Ari 1.73 magn 1.03	<b>3</b> Ls 286.0° 541 const Ari 1.73 magn 1.04	<b>4</b> Ls 286.7° 542 const Ari 1.73 magn 1.05	<b>5</b> Ls 287.3° 543 const Ari 1.72 magn 1.07	<b>6</b> Ls 287.9° 544 const Ari 1.72 magn 1.06	<b>7</b> Ls 288.5° 545 const Ari 1.71 magn 1.07
8 Ls 289.1° 546 const Ari 1.71 magn 1.06	9 Ls 289.7° 547 const Ari 1.70 magn 1.06	10 Ls 290.3° 548 const Ari 1.70 magn 1.06	11 Ls 290.9° 549 const Ari 1.70 magn 1.08	12 Ls 291.6° 550 const Tau 1.69 magn 1.07	13 Ls 292.2° 551 const Tau 1.69 magn 1.05	14 Ls 292.8° 552 const Tau 1.68 magn 1.05
15 Ls 293.4° 553 const Tau 1.68 magn 1.06	16 Ls 294.0° 554 const Tau 1.67 magn 1.05	17 Ls 294.6° 555 const Tau 1.67 magn 1.02	18 Ls 295.2° 556 const Tau 1.66 magn 1.01	19 Ls 295.8° 557 const Tau 1.66 magn 0.99	20 Ls 296.4° 558 const Tau 1.66 magn 0.97	21 Ls 297.0° 559 const Tau 1.65 magn 0.96
Conjunción Marte-Urano						
22 Ls 297.6° 560 const Tau 1.65 magn 0.92	23 Ls 298.2° 561 const Tau 1.64 magn 0.91	24 Ls 298.8° 562 const Tau 1.64 magn 0.90	25 Ls 299.4° 563 const Tau 1.63 magn 0.88	26 Ls 300.0° 564 const Tau 1.63 magn 0.87	27 Ls 300.6° 565 const Tau 1.62 magn 0.86	28 Ls 301.2° 566 const Tau 1.62 magn 0.85
29 Ls 301.8° 567 const Tau 1.61 magn 0.85	30 Ls 302.4° 568 const Tau 1.61 magn 0.83	31 Ls 303.0° 569 const Tau 1.60 magn 0.83	1	2	3	4

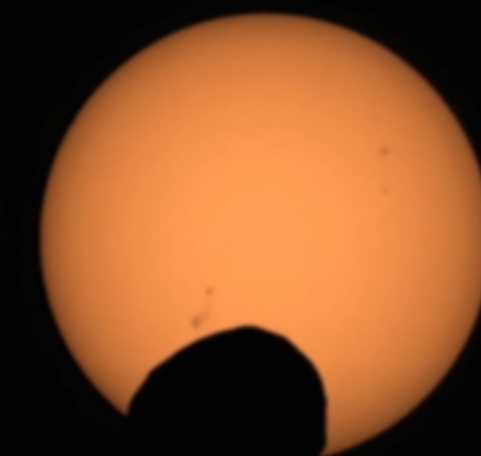
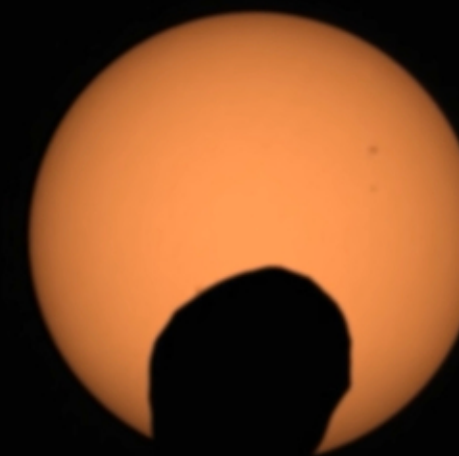
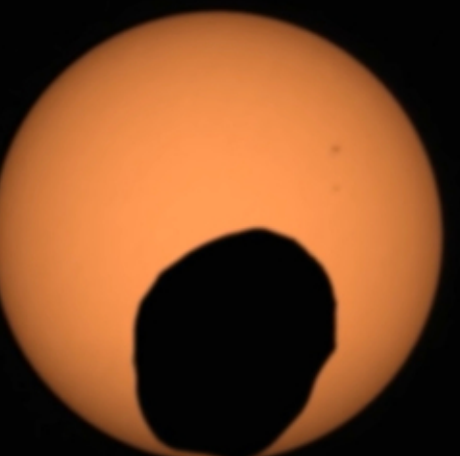
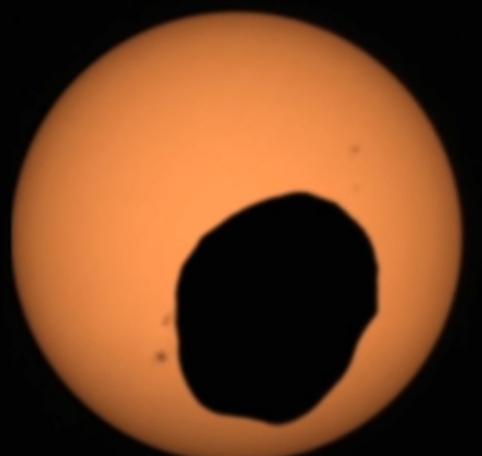
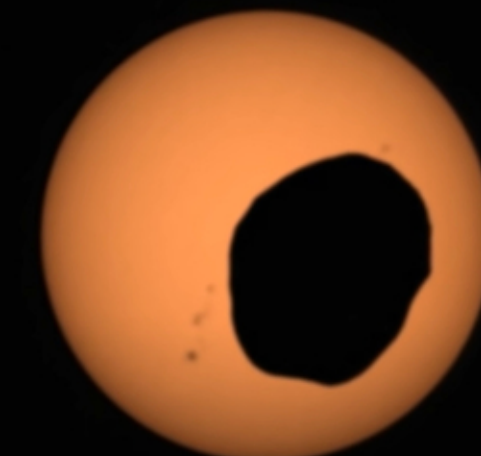
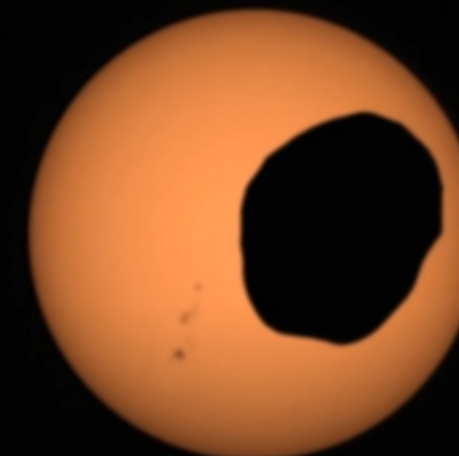
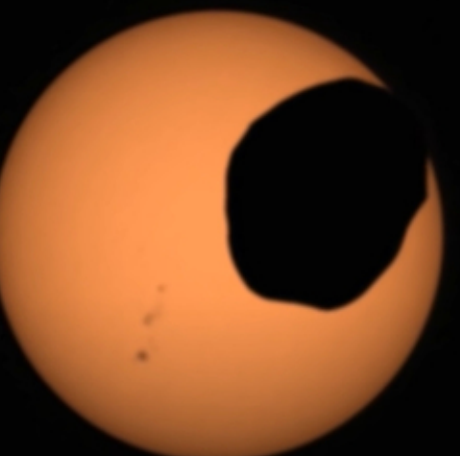
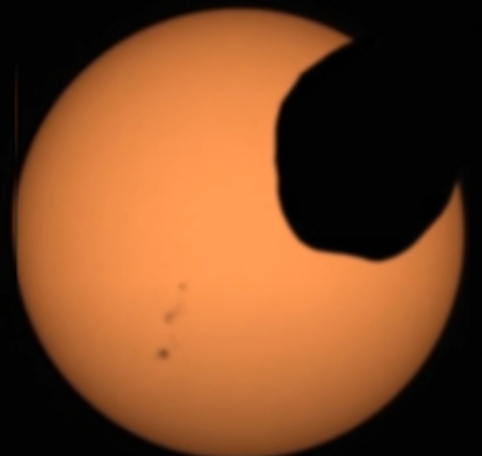
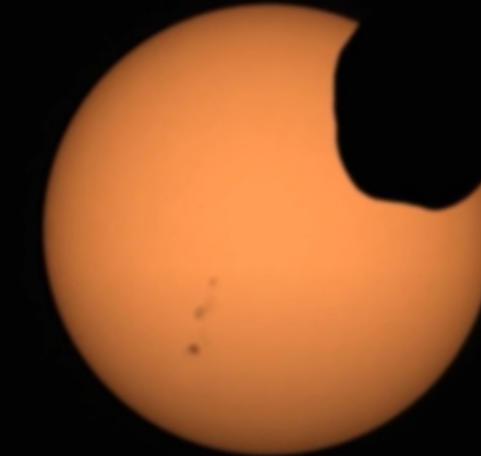
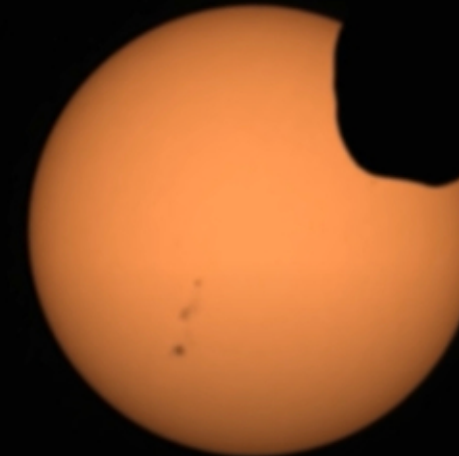
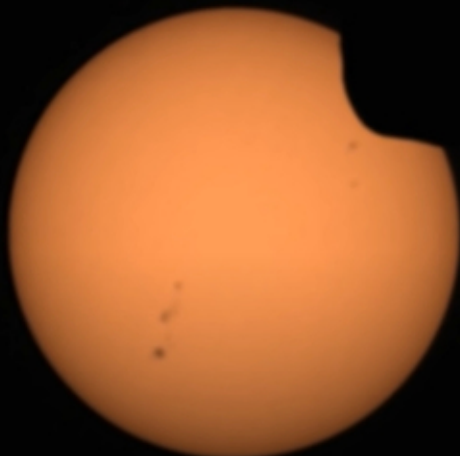
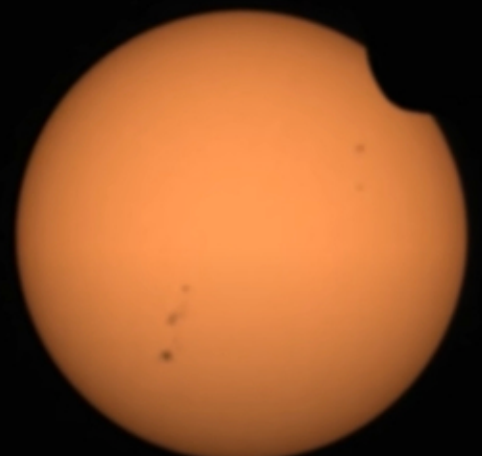


# AGOSTO 2024

La misión Mars 2020 amartizó el 18 de febrero de 2021 en el cráter Jezero con los objetivos de investigar la capacidad pasada y presente de Marte para albergar vida y recoger muestras del suelo para su futuro envío a la Tierra. Este autorretrato muestra al rover Perseverance viendo a su compañero de misión, el pequeño helicóptero marciano Ingenuity.

6 de abril de 2021 • Syrtis Major • Mars 2020 (Perseverance) • NASA/JPL-Caltech/MSSS

Lunes	Martes	Miércoles	Jueves	Viernes	Sábado	Domingo
29	30	31	1 Ls 303.6° 569 const Tau 1.60 dist 0.83	2 Ls 304.2° 570 const Tau 1.59 dist 0.84	3 Ls 304.8° 571 const Tau 1.59 dist 0.85	4 Ls 305.4° 572 const Tau 1.58 dist 0.86
5 Ls 306.0° 573 const Tau 1.58 dist 0.87	6 Ls 306.5° 574 const Tau 1.57 dist 0.88	7 Ls 307.1° 575 const Tau 1.57 dist 0.89	8 Ls 307.7° 576 const Tau 1.56 dist 0.90	9 Ls 308.3° 577 const Tau 1.56 dist 0.91	10 Ls 308.9° 578 const Tau 1.55 dist 0.92	11 Ls 309.5° 579 const Tau 1.55 dist 0.93
12 Ls 310.1° 580 const Tau 1.54 dist 0.93	13 Ls 310.6° 581 const Tau 1.54 dist 0.92	14 Ls 311.2° 582 const Tau 1.53 dist 0.91	15 Ls 311.8° 583 const Tau 1.53 dist 0.90	16 Ls 312.4° 584 const Tau 1.52 dist 0.89	17 Ls 313.0° 585 const Tau 1.52 dist 0.91	18 Ls 313.5° 586 const Tau 1.51 dist 0.90
19 Ls 314.1° 587 const Tau 1.50 dist 0.88	20 Ls 314.7° 588 const Tau 1.50 dist 0.87	21 Ls 315.3° 589 const Tau 1.49 dist 0.88	22 Ls 315.8° 590 const Tau 1.49 dist 0.87	23 Ls 316.4° 591 const Tau 1.48 dist 0.85	24 Ls 317.0° 592 const Tau 1.48 dist 0.83	25 Ls 317.6° 593 const Tau 1.47 dist 0.82
26 Ls 318.1° 594 const Tau 1.47 dist 0.80	27 Ls 318.7° 595 const Tau 1.46 dist 0.79	28 Ls 319.3° 596 const Tau 1.45 dist 0.75	29 Ls 319.8° 597 const Tau 1.45 dist 0.73	30 Ls 320.4° 598 const Tau 1.44 dist 0.73	31 Ls 321.0° 599 const Tau 1.44 dist 0.71	1



# SEPTIEMBRE 2024

Esta secuencia de fotografías que abarca 40 segundos muestra a Fobos, la mayor de las dos lunas marcianas, pasando frente al disco solar, el 2 de abril de 2022. Si bien no es el primer eclipse fotografiado desde la superficie marciana, sí es el de mayor resolución que se ha capturado a la fecha.

2 de abril de 2022 • Syrtis Major • Mars 2020 (Perseverance) • NASA/JPL-Caltech/ASU/MSSS/SSI

Lunes	Martes	Miércoles	Jueves	Viernes	Sábado	Domingo
26	27	28	29	30	31	1 Ls 321.5°
						const Tau 1.43 0.70
2 Ls 322.1°	3 Ls 322.7°	4 Ls 323.2°	5 Ls 323.8°	6 Ls 324.4°	7 Ls 324.9°	8 Ls 325.5°
601	602	603	604	605	606	
const Tau 1.43 0.69	const Tau 1.42 0.68	const Tau 1.41 0.67	const Tau 1.41 0.65	const Gem 1.40 0.64	const Gem 1.40 0.63	const Gem 1.39 0.64
9 Ls 326.0°	10 Ls 326.6°	11 Ls 327.1°	12 Ls 327.7°	13 Ls 328.3°	14 Ls 328.8°	15 Ls 329.4°
607	608	609	610	611	612	613
const Gem 1.38 0.64	const Gem 1.38 0.65	const Gem 1.37 0.65	const Gem 1.36 0.65	const Gem 1.36 0.65	const Gem 1.35 0.65	const Gem 1.35 0.65
16 Ls 329.9°	17 Ls 330.5°	18 Ls 331.0°	19 Ls 331.6°	20 Ls 332.1°	21 Ls 332.6°	22 Ls 333.2°
614	615	616	617	618	619	620
Termina temporada de tormentas de polvo						
const Gem 1.34 0.65	const Gem 1.33 0.66	const Gem 1.33 0.64	const Gem 1.32 0.63	const Gem 1.31 0.61	const Gem 1.31 0.59	const Gem 1.30 0.58
23 Ls 333.7°	24 Ls 334.3°	25 Ls 334.8°	26 Ls 335.4°	27 Ls 335.9°	28 Ls 336.4°	29 Ls 337.0°
621	622	623	624	625	626	627
const Gem 1.29 0.58	const Gem 1.29 0.58	const Gem 1.28 0.56	const Gem 1.27 0.54	const Gem 1.27 0.54	const Gem 1.26 0.54	const Gem 1.25 0.51
30 Ls 337.5°	1 628	2	3	4	5	6
const Gem 1.25 0.48						

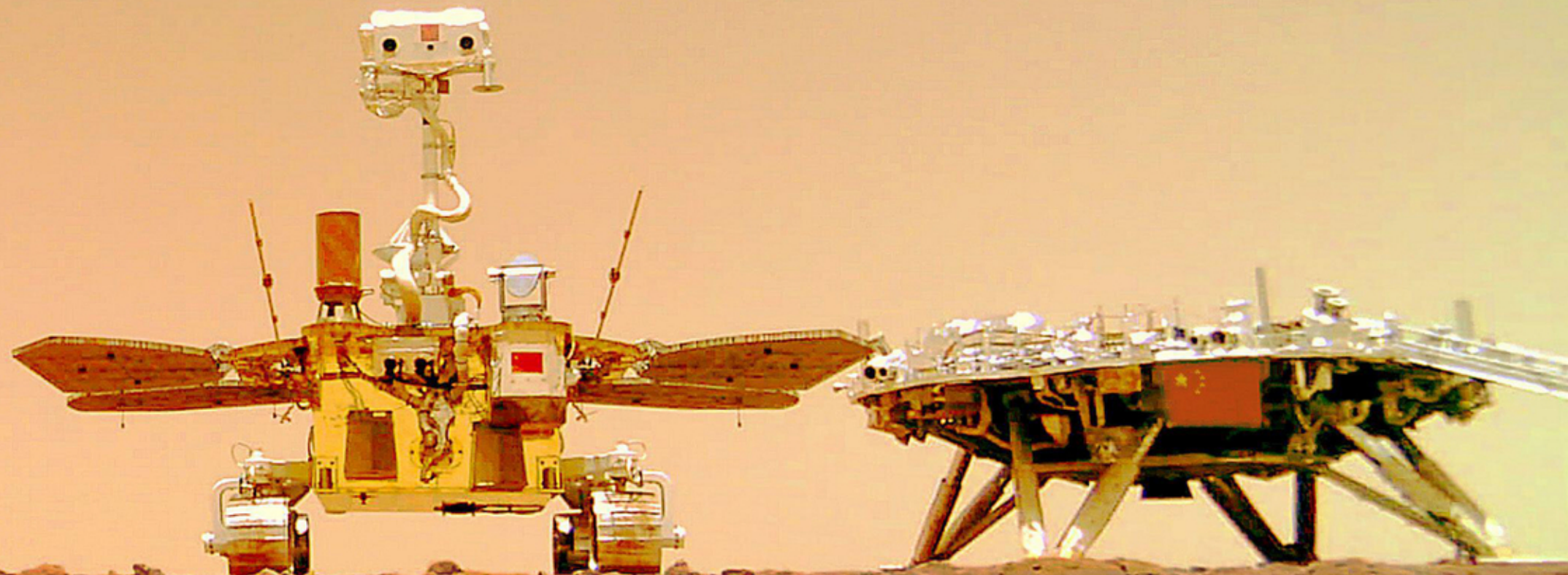


# OCTUBRE 2024

El pequeño helicóptero marciano Ingenuity fue concebido como un demostrador de tecnologías para el vuelo controlado en otros mundos, convirtiéndose el 19 de abril de 2021 en el primer objeto humano en volar en un cuerpo celeste diferente a la Tierra, un logro no menor considerando la muy baja densidad de la atmósfera marciana.

15 de junio de 2021 • Syrtis Major • Mars 2020 (Perseverance) • NASA/JPL-Caltech/ASU/MSSS

Lunes	Martes	Miércoles	Jueves	Viernes	Sábado	Domingo
<b>30</b>	<b>1</b> Ls 338.1° 629  Abre ventana de lanzamiento const dist magn Gem 1.24 0.47	<b>2</b> Ls 338.6° 630  const dist magn Gem 1.23 0.44	<b>3</b> Ls 339.1° 631  const dist magn Gem 1.23 0.42	<b>4</b> Ls 339.7° 632  const dist magn Gem 1.22 0.40	<b>5</b> Ls 340.2° 633  const dist magn Gem 1.21 0.36	<b>6</b> Ls 340.7° 634  const dist magn Gem 1.21 0.36
<b>7</b> Ls 341.3° 635	<b>8</b> Ls 341.8° 636	<b>9</b> Ls 342.3° 637	<b>10</b> Ls 342.8° 638	<b>11</b> Ls 343.4° 639	<b>12</b> Ls 343.9° 640	<b>13</b> Ls 344.4°
const dist magn Gem 1.20 0.34	const dist magn Gem 1.19 0.33	const dist magn Gem 1.19 0.31	const dist magn Gem 1.18 0.30	const dist magn Gem 1.17 0.28	const dist magn Gem 1.16 0.27	const dist magn Gem 1.16 0.24
<b>14</b> Ls 345.0° 641	<b>15</b> Ls 345.5° 642	<b>16</b> Ls 346.0° 643	<b>17</b> Ls 346.5° 644	<b>18</b> Ls 347.0° 645	<b>19</b> Ls 347.6° 646	<b>20</b> Ls 348.1° 647
const dist magn Gem 1.15 0.23	const dist magn Gem 1.14 0.23	const dist magn Gem 1.14 0.23	const dist magn Gem 1.13 0.23	const dist magn Gem 1.12 0.23	const dist magn Gem 1.11 0.22	const dist magn Gem 1.11 0.22
<b>21</b> Ls 348.6° 648	<b>22</b> Ls 349.1° 649	<b>23</b> Ls 349.6° 650	<b>24</b> Ls 350.1° 651	<b>25</b> Ls 350.7° 652	<b>26</b> Ls 351.2° 653	<b>27</b> Ls 351.7° 654
const dist magn Gem 1.10 0.22	const dist magn Gem 1.09 0.21	const dist magn Gem 1.08 0.21	const dist magn Gem 1.08 0.21	const dist magn Gem 1.07 0.20	const dist magn Gem 1.06 0.18	const dist magn Gem 1.06 0.17
<b>28</b> Ls 352.2° 655	<b>29</b> Ls 352.7° 656	<b>30</b> Ls 353.2° 657	<b>31</b> Ls 353.7° 658	<b>1</b>	<b>2</b>	<b>3</b>
const dist magn Gem 1.05 0.14	const dist magn Gem 1.04 0.12	const dist magn Cnc 1.03 0.11	const dist magn Cnc 1.03 0.11			



# NOVIEMBRE 2024

Autorretrato del rover Zhurong en Utopia Planitia, con su plataforma de amartizaje en el fondo. Tianwen-1 es la primera misión china en aterrizar en Marte, uniéndose a un muy selecto grupo de naciones en lograr esta hazaña. Para tomar la foto, el rover colocó una pequeña cámara remota en la superficie y se echó hacia atrás.

11 de junio de 2021 • Utopia Planitia • Tianwen-1 • China News Service / CNSA

Lunes	Martes	Miércoles	Jueves	Viernes	Sábado	Domingo
28	29	30	31	1 Ls 354.2° const Cnc dist 1.02 magn 0.10	2 Ls 354.8° const Cnc dist 1.01 magn 0.07	3 Ls 355.3° const Cnc dist 1.00 magn 0.05
4 Ls 355.8° 662	5 Ls 356.3° 663	6 Ls 356.8° 664	7 Ls 357.3° 665	8 Ls 357.8° 666	9 Ls 358.3° 667	10 Ls 358.8° 668
const Cnc 1.00 magn 0.05	const Cnc 0.99 magn 0.03	const Cnc 0.98 magn -0.00	const Cnc 0.97 magn -0.03	const Cnc 0.97 magn -0.05	const Cnc 0.96 magn -0.08	const Cnc 0.95 magn -0.10
11 Ls 359.3° 669	12 Ls 359.8° 1	13 Ls 0.3° 2	14 Ls 0.8° 3	15 Ls 1.3° 4	16 Ls 1.8° 5	17 Ls 2.3° 6
Inicia Año Marciano 38 Equinoccio de Primavera						
const Cnc 0.95 magn -0.14	const Cnc 0.94 magn -0.18	const Cnc 0.93 magn -0.18	const Cnc 0.92 magn -0.21	const Cnc 0.92 magn -0.23	const Cnc 0.91 magn -0.26	const Cnc 0.90 magn -0.28
18 Ls 2.8° 7	19 Ls 3.3° 8	20 Ls 3.8° 9	21 Ls 4.3° 10	22 Ls 4.7° 11	23 Ls 5.2° 12	24 Ls 5.7° 13
const Cnc 0.90 magn -0.29	const Cnc 0.89 magn -0.32	const Cnc 0.88 magn -0.35	const Cnc 0.87 magn -0.37	const Cnc 0.87 magn -0.38	const Cnc 0.86 magn -0.39	const Cnc 0.85 magn -0.40
25 Ls 6.2° 14	26 Ls 6.7° 15	27 Ls 7.2° 16	28 Ls 7.7° 17	29 Ls 8.2° 18	30 Ls 8.7° 19	1 Cierra ventana de lanzamiento
const Cnc 0.85 magn -0.41	const Cnc 0.84 magn -0.42	const Cnc 0.83 magn -0.43	const Cnc 0.83 magn -0.44	const Cnc 0.82 magn -0.45	const Cnc 0.81 magn -0.47	

Tierra  
↗



© 2022-2024 Marsarchive.org

